

МИНИСТЕРСТВО ГЕОЛОГИИ СССР

МИНИСТЕРСТВО ГЕОЛОГИИ РСФСР

БУРЯТСКОЕ ОРДЕНА ТРУДОВОГО КРАСНОГО ЗНАМЕНИ
ТЕРИТОРИАЛЬНОЕ ГЕОЛОГИЧЕСКОЕ УПРАВЛЕНИЕ

Уч. № 020

ГЕОЛОГИЧЕСКАЯ
КАРТА СССР

МАСШТАБА 1:200 000

СЕРИЯ ПРИБАЙКАЛЬСКАЯ

Лист № 49-XXI

Объяснительная записка

Составитель *В.Н.Гусев*
Редактор *П.Ч.Шобогоров*

Утверждено Научно-редакционным советом ВСЕГЕИ
21 марта 1968 г., протокол № 9

ВВЕДЕНИЕ

Территория листа № 49-ХII расположена в Баргузинском районе Бурятской АССР, ограничена координатами $58^{\circ}20'$, $-53^{\circ}40'$, с.ш. и $110^{\circ}00'$, $-111^{\circ}00'$ в.д. от Гринича и охватывает частично Икатский хребет и Баргузинскую впадину. Хребет характеризуется средней расчлененностью и сложными вершинами. Высотные отметки его вершин достигают 1600-2555 м. Относительные превышения над поверхностью Баргузинской впадины колеблются от 1300 до 2000 м. Баргузинская впадина вытянута в северо-восточном направлении и ограничена с северо-запада Баргузинским и с юго-востока Икатским хребтами. Ширина ее в пределах площади листа - 30 км, протяженность - 40 км. Днище впадины имеет абсолютную отметку 480 м. Кроме того, на исследованной площади развиты мелкие впадины: Яссынская, Богундинская, Улан-Бургинская.

Речная система района принадлежит бассейнам рек Баргузина, впадающего в оз.Байкал, и Кильмента - правого притока р.Быты. Наиболее крупными притоками р.Баргузина являются: Ина, Улан-Бурга, Сувю, Уро. К бассейну р.Кильмента относятся реки Шово-Кикак и Лев-Алтан. Озера, развитые в районе, представлены старицами и ледниковыми типами. Старичные озера (Собоникул, Хархутом, Кунтурги, Кучегер, Тулгуту, Алашун, Тагын) расположены в пределах Баргузинской впадины. Озера ледникового происхождения развиты в Богундинской впадине и в пристровой части р.Улек-Чикан. Все они нетубобные (2-3 м) и имеют округлые очертания. Размеры их от 0,1 до 1 км². Климат резко континентальный. Минимальная температура - 50°C , максимальная - $+35^{\circ}\text{C}$, среднегодовая - -6° . Среднее годовое количество осадков колеблется в пределах 350-400 мм. Повсеместно распространена многолетняя мерзлота мощностью от 2 до 40 м. Растильность района горно-таежная. Преобладает лиственница. Сосна распространена по обрамлению Баргузинской впадины. В долинах рек растут: деревья, осина и редко кедр. Животный мир разнообразен. Здесь можно встретить почти

всех представителей сибирской таежной фауны. Район сельскохозяйственных со специализацией на животноводство. На территории листа известны действующие для местных нужд карьеры гравия, известняка и мелкие кирпичные заводы. Вдоль юго-восточного обрамления Баргузинской впадины проходит шоссейная дорога, связывающая все населенные пункты. Имеется также широкая сеть проселочных дорог, доступных для автотранспорта только зимой и в сухое время летне-осеннего периода.

Первые исследования рассматриваемой территории относятся ко второй половине XIX столетия, когда И.А.Лопатином (1865), И.Д.Черским (1877-1880), А.К.Мейстером (1912), В.К.Котульским, Н.И.Свищевским (1909-1913) были проведены отдельные маршрутные пересечения. Материалы, полученные в процессе этих исследований, дали лишь общие представления о геологическом строении района.

Более детальные геологические исследования начались лишь с 40-х годов текущего столетия. В 1940-1946 гг. А.С.Кульчицкий, М.В.Чехранова проводили геологическую съемку масштаба 1:1 000 000 Баргузино-Вытимского междуречья. Ими были выделены архейские и протерозой-кембрийские породы. Последние сопоставлялись с трехчленным байкальским комплексом. Авторами отмечена малая перспективность исследованной площади на обнаружение золотых и редко-металлических месторождений. В 1944-1946 гг. в междуречье Турки, Оны, Китамата проводили исследования К.А.Шахварстова и А.А.Семенов с целью поисков россыпей и коренных источников золота. Метаморфические образования (сланцы, гнейсы, амфиболиты, известняки) К.А.Шахварстовой были отнесены к архею, а А.А.Семеновым — к докембрию. Вышележащая толща слабометаморфизованных пород, сопереждающая фауну археопланта, была отнесена к кембрию. Выделены интрузии палеозойского возраста, с которым авторы связывали рудопроявления золота. В 1951 г. Г.Г.Маркинсон произвел спорово-пыльцевой анализ керновых проб из скважин района с.Суто. На основании полученных данных впервые в пределах Баргузинской впадины выделены средне- и верхнечетвертичные отложения.

В 1951 г. в бассейне р.Мал.Кунгумук проведены полисково-рекогносционные работы на щебелит под руководством В.П.Руднева. Установлена площадь распространения щебелита, связанного со скарнированными породами и дана отрицательная оценка на дальнейшие поиски. В 1952-1953 гг. в пределах Баргузинской впадины проводилась геолого-геоморфологическая съемка в масштабе 1:100 000 под руководством С.М.Замараева. Составленная им геологическая карта масштаба 1:200 000 признана кондиционной. В 1957 г. К.П.Капининой была

составлена, а в 1959 г. издана геологическая карта листа №49 в масштабе 1:1 000 000. В 1958 г. А.А.Томонов и А.И.Лашкевич проводили поисково-разведочные работы в масштабе 1:50 000 в районе бассейна р.Суто. Ими была установлена и отмечена площадь карбонатных пород (Сувинское месторождение), изучены контакты с вмещающими породами и условия их залегания. Подсчитаны запасы карбонатных пород, пригодных для производства доломитовой известности. Запасы по кат.С1 составляют 2532,9 тыс.т. В 1962 г. В.Г.Елин и В.А.Баутин исследовали юго-западную часть рассматриваемой площади в масштабе 1:50 000 с цельюоценки ее перспектив на редкимагниты. В результате поисков были выделены ореолы рассеяния радиоактивных земель (бассейн р.Уро) и установлена генетическая связь их с альбитизированными гранитами витимского комплекса. В 1959-1962 гг. проводились буровые работы под руководством Н.Ф.Ежкова с целью водоснабжения населенных пунктов, колхозов и совхозов в пределах Баргузинской впадины. В 1951-1954 гг. проводились гравимагнитные, электро- и сейсморазведочные работы трестом "Востсибнефтесфазика" под руководством А.П.Булгасова, Н.Ф.Петченко, Г.А.Кирковой, А.А.Засыпкина с целью изучения ее структуры на нефть и газ. В результате проведенных работ установлено, что поверхность кристаллического ложа впадины в целом погружается в северо-восточном направлении. Вблизи западного борта впадины происходит резкое погружение фундамента, а у восточно-го — прогидание кристаллического основания носит более швейный характер. Установленные гравитационные минимумы интерпретируются как участки наибольшего погружения фундамента. Мощность осадочных пород оценена А.П.Булгасовым в 1000 м и более.

Аэромагнитной съемкой масштаба 1:200 000 была охвачена западная часть территории листа №49-XXI под руководством В.В.Сусленникова (1958) и В.И.Блументрайга (1960). По данным этих исследователей, магнитное поле площади имеет постоянный характер. В 1957 г. на юго-востоке исследованной площади проведена аэродикомагнитная съемка масштаба 1:25 000 А.Г.Гарбузинским и Ф.М.Боровским, в результате чего составлена карта изменения приращения полного магнитного поля. Отсутствие данных о магнитных свойствах, развитых в районе пород, не позволило авторам сделать достаточно обоснованных выводов о связи тех или иных особенностей магнитного поля с геологическим строением. В 1960-1963 гг. проведена гравиметрическая съемка масштаба 1:1 000 000 под руководством П.А.Лопона. В результате работ была составлена карта аномалий силы тяжести, на

которой в пределах описываемого района выделяется синклинальная структура. В 1960 г. поисково-разведочным отрядом Комплексной геоматической экспедиции БГУ (Убодов, 1961) в юго-восточной части Баргузинской впадины проведены работы с целью предварительной оценки возможной бокситоносности неогеновых отложений. В результате этих работ было установлено, что на участке "Бодон" развиты платомитово-каолинитовые глины, содержащие глиноzem от 23,46 до 26,01% и кремнезем от 49,26 до 53,21%. В 1961-1962 гг. в южной части и в 1965 г. в северной части шлоади листа № 49-XXI проводились аэрогеофизические работы в масштабе 1:50 000 (Шильков, Мулков, 1964; Мулков, Солеников, 1966). В результате этих работ были выполнены и рекомендованы перспективные участки для постановки наземных геолого-геофизических работ на железо, редкие и редкоземельные элементы.

Отмечается несбита с соседними листами: по западной (лист № 49-ХХ) и южной (лист № 49-ХХII) границам территории несоответствия в наименованиях и детальности членения интрузивных и осадочных комплексов объясняются тем, что в результате проведения дополнительных исследований (минералогический, алюсерный, петрографический анализ, определения физических свойств горных пород и т.д.), а также новых фактических данных по региону, представляется возможным уточнить возрастное положение интрузивных и осадочных пород и промзвести их более дробное разделение: по восточ-ной границе (лист № 49-ХХII) метаморфические образования, объединенные А.Н. Булгатовым в олигосувахинскую свиту верхнеэротеро-войского возраста, расчленены на три свиты (снизу) сувахинская свита верхняя подсвита, тилимская свита, мэлдэлтенская свита.

Основанием для этого послужили составление детальных геологических разрезов и выяснение взаимоотношений указанных свит.

В условных обозначениях к геологической карте указаны стратиграфические подразделения и наименования пород, отсутствующие в тексте легенды Прибайкальской серии:

а) Кембрийская система. Нижний отдел. Алданский ярус.

Мэлдэлтенская свита (номер 81). Работами ряда геологов (Широбоков И., Ветров Д.В., Рукавец В.Ф., Михно Н.П. и др.) установлено, что разрез нижнекембрийских отложений в бассейнах рек Оны, Курбы, Тури, Ямбуря имеет двучленное строение. Нижняя его часть сложена эффиузивно-территено-карбонатной толщей (мэлдэлтенская свита), а верхняя — карбонатной — (курбанская свита). По данным М.М. Ямира (1966, 1967), курбанская свита одновозрастна с ольдинской свитой, но составы их редко отличны друг от друга.

Баргузинской впадине проведены работы с целью предварительной оценки возможной бокситоносности неогеновых отложений. В результате этих работ было установлено, что на участке "Бодон" развиты платомитово-каолинитовые глины, содержащие глиноzem от 23,46 до 26,01% и кремнезем от 49,26 до 53,21%. В 1961-1962 гг. в южной части и в 1965 г. в северной части шлоади листа № 49-XXI проводились аэрогеофизические работы в масштабе 1:50 000 (Шильков, Мулков, 1964; Мулков, Солеников, 1966). В результате этих работ были выполнены и рекомендованы перспективные участки для постановки наземных геолого-геофизических работ на железо, редкие и редкоземельные элементы.

Мэлдэлтенская свита, залегающая под кудринской, не может быть параллелизована с химильдинской свитой, залегающей выше ольдинской свиты. Учитывая сказанное, предлагается восстановить название "мэлдэлтенская свита" с набором пород, установленном на листе № 49-ХХI.

б) Поздний комплекс протерозоя. Тилимская свита (номер 100) — словами "биотит-ротовообманковые, грауваковые сланцы, кварциты".
в) Поздний комплекс протерозоя. Сувахинская свита. Верхняя подсвита (номер 102) — словами "квард-биотит-чешуйчатые, квард-актинолитовые, олиот-мусковитовые, пироксен-биотитовые сланцы, магматиты".
г) Раннепалеозойские интрузии. Витимканский комплекс. III фаза (номер 168) — словами "диоритовые порфириты".

СТРАТИГРАФИЯ

Большая часть территории сложена интрузивными образованиями и лишь около 30% ее занято осадочными и осадочно-метаморфическими образованиями, относящимися по возрасту к позднему протерозою (сувахинская, тилимская свиты), раннему кембрию (мэлдэлтенская свита), неогену (туры, чининская толща) и четвертичному периоду.

ВЕРХНИЙ ПРОТЕРОЗОЙ

ВИТИМСКАЯ СЕРИЯ

СУВАХИНСКАЯ СВИТА. Верхняя подсвита (Pt₃?-v₃). Породы подсвиты являются наиболее древними в районе.

Они сосредоточены в пределах неширокой полосы, проходящей через водораздел рек Умаки, Богуны, Улчи, Майтуны, и отдельными ксенолитами среди гранитоидов баргузинского комплекса в между-речье Шовокшана, Шолококана, Кынкита. Подсвита сложена различными по составу и чередующимися между собой кристаллическими сланцами, гнейсами, магматитами, кристаллическими известняками и метаморфизованными аффузивами. Наиболее полный разрез подсвиты наблюдается в бассейнах рек Богуны и Туричи, выше устья р. Бонгуды (снизу вверх):

1. Пачка переслаивающихся биотитовых, биотит-ротовообманковых, ротовообманково-широксеновых, кристаллических сланцев "очковой" текстуры 500 м

2. Пачка переслаивающихся биотитовых, биотит-рогообманковых, биотит-мусковитовых, пироксен-биотитовых сланцев

3. Сланцы биотит-рогообманковые

4. Сланцы биотит-мусковитовые

5. Переслаивающиеся кварц-биотит-полевошпатовые, биотит-рогообманковые, биотит-диорексеновые

6. Известняки кристаллические

7. Сланцы биотит-рогообманковые

8. Известняки кристаллические

9. Сланцы биотит-рогообманковые

10. Известняки кристаллические

11. Сланцы биотитовые

12. Известняки кристаллические

13. Сланцы биотит-рогообманковые

14. Сланцы кварц-актинолитовые

15. Пачка переслаивающихся кварц-биотит-полевошпатовых, биотитовых и биотит-рогообманковых сланцев

Общая мощность разреза 4800 м.

К в а р д - б и о т и т - п о л е в о ш п а т о в ы е

Кристаллические сланцы представляют собой темно-серые породы со сланцеватой текстурой. Структура лепидогранобластовая и гранобластовая. Главными горнодоброизданными минералами являются (в %): кварц – 30–50, биотит – 10–20, платиноиды и микроклин – 40–50. Вторичные минералы представлены мусковитом, альбитом, хлоритом, карбонатом; акцессорные – сфеном, анатитом, рудным минералом.

Биотит-мусковитовые сланцы представляют собой темно-серые породы со сланцеватой текстурой. Структура лепидогранобластовая и гранобластовая. Главными горнодоброизданными минералами являются (в %): кварц – 30–50, биотит – 10–20, платиноиды и микроклин – 40–50. Вторичные минералы представлены мусковитом, альбитом, хлоритом, карбонатом; акцессорные – сфеном, анатитом, рудным минералом.

Чешуйчатые сланцы представляют собой темно-серые породы. Пол микроскопом определяется исключительно лепидогранобластовая структура. Главные горнодоброизданные минералы (в %): кварц – 50–60, биотит – 25–30, мусковит – 10–15, полевые шпаты – 8–10; акцессорные – гранат, апатит, рудные минералы.

Биотит-рогообманковые сланцы представляют собой темно-зеленые, зеленовато-серые, пиритизированные, рассланцованные породы. Структура их лепидогранобластовая и немагнетитированная. В состав пород входят (в %): кварц – 20–30, полевые шпаты – 40–50, биотит – 10–15, роговая обманка – 10–25. Вторичные минералы представлены хлоритом, серпентитом, эпилитом; акцессорные – сфеном, рудными минералами.

Пироксеновые и пироксен-биотитовые сланцы представляют собой темные породы с пегматогранобластовой, пойкилобластовой структурой с гранобластовой мелкозернистой основной массой. Текстура слабо сланцеватая, иногда массивная. Порододразумевыми минералами являются (в %): моноклинный пироксен – 35–45, кварц – 20–30, кальевый полевой шпат – 5–25, биотит – 10–15, хлорит – до 20, эпилит – до 10, кальцит – до 3. Из акцессорных минералов отмечаются апатит, сфен и магнетит.

Квард-актинолитовые и кристаллические сланцы обладают зелено-серой окраской и состоят из актинолита (90%), кварца, эпилита и полевых шпатов (10%). Структура их лепидогранобластовая, текстура сланцевая.

Биотит-рогообманковые и роговообманковые сланцы состоят из актинолита (90%), кварца, эпилита и полевых шпатов (10%) в виде пачки. Структура их гнейсоподобной. В их состав входит серый, темно-серый окраской, гранобластовой, лепидогранобластовой структурами и гнейсоподобной текстурой. В их состав (в %) входят: платигнейз – 25–70, кварц – до 25, микроклин – до 15, биотит – 1–7, роговая обманка – 2–10, моноклинный пироксен – до 50. Из акцессорных минералов встречаются сфен, апатит, рудный минерал.

Кристаллические и звездчатые сланцы представляют собой белые, сахаровидные, массивные породы. Структура их гранобластовая и гетерогранобластовая, текстура массивная. Основная масса состоит из крупных (6×3 мм) ксеноморфных зерен кальцита (80–90%). Второстепенные минералы – полевые шпаты, мусковит, моноклинный пироксен, гранат; акцессорные – сфен, рудные минералы. По трещинкам развиваются бурые гидроокислы железа.

Метаморфозованные эфузивы основной массой, в которой отчетливо выделяются линзовидные вкрашениями серого кварца, полевого шпата, вытянутой в одном направлении, формы. Структура породирована с микролепидогранобластовой основной массой. Из акцессорных минералов присутствуют циркон и рудный минерал.

Породы верхней подсвиты сувенихинской свиты претерпели региональный и kontaktовый метаморфизм. Первый проявился в перекристаллизации кластического полимиктового материала, соответствую-

шей низших стадиям амфиболитовой фации метаморфизма (по Ф. Тирену), с образованием минералов шпатооклаза, биотита, мусcovита, ацинолита, а также появлением кристаллизационной сланцеватости. Процессы kontaktового метаморфизма, вызванные интрузиями гранитоидов баргузинского и витиманского комплексов, были наложены на регионально метаморфизованные породы и создали более сложную картину. На контактах с интрузиями терригенные и территенно-карбонатные породы превращены в роговики и ороговикованные породы, отличающиеся сложным и многообразным составом. Ширина зон ороговования в среднем составляет 0,5 км, но в некоторых местах достигает нескольких километров (бассейн р. Улчи).

По минеральному составу роговики подразделяются на шпато-кварцово-пироксеново-амфиболовые, биотит-транзит-биотитовые, кварц-диороксеновые, биотит-андезит-кварцевые. Структура их роговиковая, гранобластовая, пойнтобластовая, порфиробластовая. Наличие в роговиках пироксена, андезита, граната указывает на довольно высокую температуру метаморфизма в kontaktовой зоне. Отметим некоторые особенности kontaktового метаморфизма, связанные с интрузиями баргузинского комплекса. На контакте с последними вымещающие породы подверглись значительному метасоматозу, проявившемуся в образовании многочисленных крупных вкраепленников шпатооклаза и микроклина. Граница между ними нечеткая. При более интенсивном воздействии гранитов породы переходят через "очковые" гнейсы в инъекционные гнейсы и мигматиты (бассейн рек Улчи, Кильжимта, Ари-Алтана). Инъекционные гнейсы и мигматиты распространены преимущественно на водоразделе рек Кильжимта, Ари-Алтана и Шолоконана. Здесь они образуют зоны вдоль контактов с интрузиями шириной до нескольких километров. Однако они встречаются и на значительном удалении от интрузий, среди поля развития сланцев (бассейн р. Турукчи). Это, по-видимому, объясняется близостью интрузивов к поверхности. В бассейнах рек Имы и Шолоконана развиваются процессы амфиболитизации и магматизации. Во вымещающих породах развивается зеленая роговая обманка (более железистая, чем в транзитоидах) и биотит, с превращением самой породы в биотит-амфиболовые, амфибол-пироксеновые роговики, амфиболиты и диориты.

Изучение структур пород подсвиты и минеральных парагенезисов показывает, что в процессе своего формирования они испытывали развиты и процессы биотитизации. Притом биотит развивается в основной массе породы за счет более кипящих шпатооклазов.

Проблемы, связанные с разрывами, бластомлонитовых структур. Площади развития пород подсвиты, по данным Баргузинской аэро-геофизической партии (Мулков и др., 1966), характеризуются саб-бомбазанными низкими магнитными (-200 – 300 гамм) и радиоактивными полями (4–5 мкр/час). Радиоактивность пород половина, по данным нашей гамма-съемки, составляет 14–15 мкр/час. Отложения выделенной нами суванихинской подсвиты хорошо сопоставляются с отложениями верхней половины суванихинской свиты Чино-Амалатского водораздела (П.В. Осокин, 1961 г.).

Нижняя возрастная граница верхней подсвиты суванихинской свиты из-за отсутствия в районе более древних образований не установлена. Верхняя граница подсвиты определяется на основании того, что она совершенно согласно перекрывает отложения тилмской свиты и ее породы присутствуют в гальке континерратов доломитов тилмской свиты на кварц-полевошпатовые сланцы верхней подсвиты суванихинской свиты нам наблюдалось в правом борту верховья р. Турукчи. Kontakt между этими породами четкий и совершенно согласный (аз.-пал. линия контакта $330^{\circ} / 65^{\circ}$).

Т и л и м с к а я с в и т а (Рт₃?/?). Отложения тилмской свиты слагают бассейн нижнего течения р. Турукчи, водораздел рек Акули, Бол.Кунгулаха, Ушиканы, узкой полосой протягиваются вдоль р. Турукчи и бассейна р. Асына. Отдельные ксенолиты залягают среди гранитоидов баргузинского комплекса в бассейне р. Суво и на водоразделах рек Прав.Суво, Ины. Свита сложена преимущественно доломитами и кристаллическими известниками, среди которых отмечаются прослои и горизонты биотитовых, биотит-рогонообманковых, гранитовых сланцев и кварцитов. Сланцы распространены главным образом в верхних частях разреза свиты, где слагают довольно выраженные по простиранию горизонты мощностью от 10 до 200 м. Известники распространены преимущественно в бассейнах рек Суво, Акули и Кунгурка, в бассейне р. Асына распространены доломитизированные известники. Сводный разрез свиты составлен в бассейне р. Турукчи, выше устья р. Ушиканы и по р. Ушикану (снизу вверх):

1. Известники белые, кристаллические	• • • • •	580 м
2. Кварциты желтовато-серые, среднезернистые	• • •	150 м
3. Доломиты серые, полосчатые и массивные	• • •	400 м
4. Сланцы карбонатные, кварц-биотитовые, рогово-		
обманковые	• • • • •	150 м
5. Доломиты серые, массивные и полосчатые	• • • •	200 м

6. Сланцы карбонатные кварц-биотит-рого-		
вобмаковые	100	м
7. Известняки массивные, доломитизированные	400	"
8. Сланцы кварц-серцит-хлоритовые	20	"
9. Сланцы темно-серые, графитовые	200	"
10. Доломиты светло-серые, массивные и полосча-		
тые	280	"
11. Известняки белые, массивные	700	"
12. Известняки темно-серые, массивные, графи-		
тизированние	55	"
13. Сланцы биотитовые, полосчатые	34	"
14. Известняки светло-серые, белые, тонкозернистые	14	"
15. Сланцы темно-серые, тонколосчатые, графитовые	30	"
16. Сланцы биотитовые	34	"
17. Известняки серые, светло-серые, переслаиваю- щиеся с графитовыми сланцами	30	"
18. Сланцы биотитовые	40	"
19. Известняки серые, тонкозернистые, слаболос- чатые	63	"
20. Сланцы биотитовые, переслаивающиеся с граfi- товыми сланцами	26	"
21. Доломиты темно-серые, массивные, переслаиваю- щиеся с графитовыми сланцами	34	"
22. Сланцы графитовые	30	"
23. Известняки серые, белые, массивные	70	"
24. Известняки белые, массивные, переслаивающиеся с биотитовыми сланцами	150	"

Общая мощность свиты по разрезу составляет 3800 м. Д о л о м и т ы представляют собой серые и светло-серые породы. Текстура их массивная и полосчатая. Главным породообразующим минералом является доломит (97%). Из вторичных минералов присутствуют кварц, полевые шпаты, мусковит, графит.

И з в е с т н я к и — белые, светло-серые, сплошные, иногда массивные породы, обладающие мелкокристаллическим, а местами средне- и крупнозернистым сложением. В устье р.Асына встречаются розоватые разности известняков. Главным породообразующим минералом является кальцит (95-98%). Из вторичных минералов присутствуют кварц, тремолит, мусковит, графит.

Б и о т и т о в ы е, б и о т и т - р о т о в о о б м а г -
ко в и е с л а н ц и имеют серую, темно-серую и зеленова-
то-серую окраску. Для сланцев характерна сильная пиритизация.

Структура их лепидогранобластовая, нематогранобластовая, текстура сланцевая. Главными породообразующими минералами являются кварц (30-40%), полевые шпаты (10-20%), биотит (15-30%). В био-
тиг-рогообмаковых сланцах, кроме того, присутствует роговая обманка (10-25%). Вторичные минералы представлены серилитом, хло-
ритом, эпидотом; акцессорные — сфеном, рудными минералами.
Т р а ф и т о в ы е с л а н ц и имеют темно-серую и серую
окраску, микрогранобластовую структуру и сланцеватую текстуру.
Порода состоит из чешуек графита (85-90%), углисто-глинистого
вещества и кварца (10-15%).

К в а р и т и — серые и желтовато-серые породы. Структура гранобластовая, текстура массивная. Сложен на 76-80% изометри-
ческими зернами кварца, в промежутках между которыми наблюдаются
чешуки биотита, мусковита, хлорита, иногда эпидота.

На контакте с гранитами в карбонатных породах образуются скарноиды. Ширина скарновых зон достигает 1 км и более (водораз-
дел рек Турокли и Асына, левый борт р.Ины). По составу среди скарноидов установлены разновидности: широксен-скаполитовые (ле-
вой борт р.Суто), широксен-амфиболовые (бассейн р.Акулы), широк-
сен-амфибол-транатовые (бассейн р.Асына, водораздел рек Прив.Су-
во и Сувокага), широксен-транатовые и гранатовые (бассейн р.Ины).

Региональный метаморфизм выражался в перекристаллизации из-
вестняков и доломитов. По данным пересчетов химических анализов,
содержание кальцита в известняках составляет 92%, количество
доломита — 4,2%. В доломитах содержание доломита составляет
95%, кальцита — 5%.

По данным работ Баргузинской аэрогеофизической партии (Мулю-
ков и др., 1966), породы тилимской свиты обладают отрицатель-
ным магнитным полем (300-400 гамма) и низкими радиоактивными
полями (3-4 мкр/час). Радиоактивность, по данным наземной гамма-
съемки, составляет 10-12 мкр/час.

Возраст тилимской свиты определяется как позднепротерозой-
ский. Основанием для этого послужили следующие факты: а) соглас-
ное залегание на породах верхней полсвиты сувакинской свиты;
б) на водоразделе рек Асына и Турокчакана доломитизированные
известняки прорываются гранититами баргузинского комплекса;
в) в междуречье Турокли и Ины доломиты прорваны гранититами
Ш фазы баргузинского комплекса. Кроме того, внутри гранититов
II фазы баргузинского комплекса известняки налождаются в виде
мелких ксенолитов (бассейн р.Суто); г) в верхнем течении р.Турок-
чи, выше устья р.Асына, доломитизированные известняки перекры-
ваются

ются конгломерато-песчаными отложениями Малдзялтенской свиты и эти же известняки входят в состав гальки конгломератов; п-сравнивая разрезы тилемской свиты с разрезами этой же свиты на соседних площадях, находим их почти полную аналогию (Булгатов, 1960; Осокин, 1961; Гусев, 1963).

КЕМЕРСКАЯ СИСТЕМА

Нижний отдел

Алданский ярус

Мэлдэлгенская свита (*Cm₁ m₁*). Породы свиты в виде разобщенных полей образуют узкую полосу шириной от 2 до 6 км, вытянутую в северо-восточном направлении от верховья р.Дмугуй через водораздел рек Ина - Шовокиха, Акули до верховья р.Турокчи. Строение свиты представлено довольно пестрым комплексом пород: конгломераты, песчаники, различные сланцы, известняки и эффиузивы. Для всех пород характерны серые, зеленовато-серые и темно-серые тона окраски. Породы свиты, переслаивающие друг с другом, обычно связаны постепенными переходами, местами между отдельными пачками, отличающимися по составу, наблюдаются резкие контакты. В разрезе отчетливо выделяются три пачки, стратиграфическая последовательность которых строго выдерживается. Министься лишь их мощности. Нижняя (базальная) пачка, имеющая наименьшую мощность (200-400 м), представлена, как правило, крупно- и грубослоистыми породами. Во многих случаях (левый борт р.Турокчи, водораздел рек Асына и Ины, водораздел рек Асына и Доголь-Джина, бассейн р.Акулы) она начинается с горизонта базальных конгломератов, обычно крупногалечных, полимиктовых с гальками разнообразных пород из подстилающих толщ (сланцы, гнейсы, кварциты, известняки) и гранитов. Непосредственное наложение нижней пачки пород на доломитизированные известняки тилемской свиты нам наблюдалось по левому борту р.Турокчи, выше в 3 км от устья р.Асона. В непосредственном контакте конгломераты сильно развалываются. Известняки видимых изменений не несут. Аз.пад.линии контакта $160^{\circ} \angle 55^{\circ}$. Известняки и конгломераты имеют такие же элементы залегания.

На водоразделе рек Акул-Догольджин конгломераты залегают на гравитах III фазы баргузинского комплекса. Непосредственный контакт в этом месте не вскрывается. Выше залегает сланцевая пач-

ка мощностью около 700 м. В ее строении принимают участие биотитовые, биотит-ротовободиантовые, биотит-кварцевые, кремнисто-хлоритовые, ампел-хлоритовые сланцы с прослоями песчаников. В средней и верхней частях пачки отмечается прослои известняков и эффиузивов мощностью до 100 м. Общая мощность пачки 1855 м.

Разрез отложений свиты изучен по левому борту р.Турокчи (снизу вверх):

1. Конгломераты полимиктовые	• • • • •	40	м
2. Песчаники серые, зеленовато-серые	• • • • •	20	"
3. Конгломераты карбонатные, полимиктовые	• • • • •	30	"
4. Песчаники серые, кварц-полевошпатовые	• • • • •	30	"
5. Конгломераты полимиктовые	• • • • •	15	"
6. Песчаники серые, зеленовато-серые, кварц-полевошпатовые	• • • • •	100	"
7. Конгломераты полимиктовые	• • • • •	20	"
8. Песчаники серые, кварц-полевошпатовые	• • • • •	50	"
9. Конгломераты полимиктовые	• • • • •	50	"
10. Песчаники серые, зеленовато-серые, кварц-полевошпатовые	• • • • •	40	"
II. Песчаники серые, обожженные, дробленные, кварцевые	• • • • •	60	"
12. Сланцы темно-серые, биотит-ротовободиантовые	• • • • •	380	"
13. Сланцы зеленовато-серые, ампел-хлоритовые	• • • • •	35	"
14. Сланцы темно-серые, полевошпат-биотит-кварцевые	• • • • •	75	"
15. Сланцы зеленовато-серые, биотит-ротовободиантовые	• • • • •	160	"
16. Сланцы серые, зеленовато-серые, полосчатые	• • • • •	800	"
17. Сланцы темно-серые, биотитовые	• • • • •	50	"
18. Песчаники серые, зеленовато-серые, кварц-полевошпатовые	• • • • •	120	"
19. Эффиузивы метаморфизованные, кислые	• • • • •	40	"
20. Песчаники серые, полосчатые, кварц-полевошпатовые	• • • • •	650	"
21. Песчаники светло-серые, кварцитовидные	• • • • •	15	"
22. Песчаники серые, полосчатые, кварц-полевошпатовые	• • • • •	160	"

П о л и м и к т о в и е к о н г л о м е р а т и сложены гальками, иногда валунами, размером в поперечнике 0,3–0,4 м, при этом соотношение обломочного материала и цемента в них резко изменяется, неоднородны они также по величине и степени сортировки обломков. Степень окатанности галек и валунов самая разнообразная и зависит от крутизны обломочного материала и от петрографического состава материальных пород. Лучшую окатанность имеют гальки, представленные гнейсами, сланцами и известняками; гранитная галька окатана слабее. Гальки и валуны в большей части имеют овально-вытянутую или сплющенную форму. Длинные оси галек ориентированы преимущественно согласно с рассланцеванием и слюстостью породы. В зонах тектонических нарушений конгломераты прорывают грубую сланцеватую текстуру. Цемент представлен биотитом и кварцем и кварц-полевошпатовыми сланцами с незначительными содержаниями карбонатного материала.

К а р б о н а т н ы е к о н г л о м е р а т ы отличаются от полимиктовых тем, что преимущественно состоят из галек розовых и белых, кристаллических известняков, доломитов и незначительного количества галек биотитовых, серых и темно-серых сланцев. Цемент конгломератов также карбонатный.

К в а р д е з н ы е и к в а р д - п о л е в о ш п а т о - блестящими, блестящими-амбитовой, блестящими-сфейтовой, псаммитовой и псевдогипсовыми структурами. Структура цемента лепидогранобластовая, гранобластовая; текстура полосчатая, массивная. Размер обломков 0,15–0,40 м. Обломочный материал представлен (в %) преимущественно кварцем – 60–90, полевыми шпатами – 10–30, кальцитом – 7–10, рудными минералами. Цемент (40–60%) состоит из кварц-карбонатного материала, биотита, серпента, мусcovита, карбоната. Из аксессорных минералов встречаются агат, пирок, сфер, рудный минерал.

С л а н ц ы, входящие в состав свиты, представлены биотитовыми, биотит-ротовообманковыми, кремнисто-хлоритовыми, эпилот-хлоритовыми разновидностями. Макроскопически – темно-серые и зеленовато-серые породы, характеризуются лепидогранобластовой, лепидомагматогранобластовой структурой, сланцеватой текстурой.

Главными породообразующими минералами являются (в %): кварц – 20–60, биотит – 15–40, роговая обманка – 10–40, полевые шпаты – 20–40. Из вторичных минералов встречаются карбонат, хлорит, серпентин, эпилот, кальцит; из аксессорных – апатит, сфер, гранат, рудный минерал.

И з в е с т н я к и представляют собой светло-серые, сажевые породы. Сложенны они почти полностью мелкими (до 1 мм) зернами кальцита, среди которых в незначительных количествах отмечаются рудные минералы и черные, пылевидные включения, вероятно, графита.

М е т а м о р ф и з о в а н н ы е а ф ф у з и в и (фельзит-форфиры, кварцевые форфиры) характеризуются бластопорфировой структурой с лепидогранобластовой структурой основной массы. Текстура сланцеватая, полосчатая. Порфировые вкрапления представлены серидитизированным плагиоклавом, микроклином и кварцем. Размер их 0,3–1,5 м. Основная масса сложена кварц-полевошпатовым агрегатом с малыми чешуйками мусковита и биотита.

Метаморфизм пород Малдэлгэнской свиты соответствует фации зеленых сланцев.

Отложения малдэлгэнской свиты по палеогеографической односторонке, по составу пород и характеру разрезов резко отличаются от одношаровых отложений, развитых в Ольгинско-Холойском районе в бассейнах рек Малдэлгена и Атчи, но имеют сильное сходство с разрезом отложений, развитых в пределах р. Ямудя, где они стягивают синклинальную структуру, в ядре которой находятся карбонатные породы вышележащей ольгинской свиты с faunaю нижнего кембрия. Сопоставия отложений в бассейне р. Ямудя и выше выделенные нами отложения малдэлгэнской свиты, находим, что они сходны по характеру разрезов, по вещественному составу и фаунистическому типу осадков, по взаимоотношению с полигенными породами докембрия. Изложенный материал показывает, что в нижнекембрийское время в краевой части каледонского складчатого сооружения обособилась область с особым тектоническим режимом и с особым типом осадконакопления. Эта область морфологически выражена узким грабен-протубераном, в котором в нижнекембрийское время накапливались отложения прибрежно-морской терригенной формации.

НЕОГЕНОВАЯ СИСТЕМА

П л и о ц е н

Т у ф и б а з а л ь т о з (ρ_{N_2}) в пределах Баргузинской залежи установлены нами впервые, в 2,5 км юго-западнее с. Бодончана, на левом берегу одноименной долины. Туфы здесь образуют пологий наклоненный поверхность в сторону русла р. Бодона, на которой разбито пять углублений, типа воронок провала, размером в диаметр.

ре до 15 м и глубиной до 2-3 м. Мощность туфов, судя по изучению

с поверхности, не превышает 50 м. Цвет их темно-зеленый, вишневый, кирпичный, серовато-черный. Под микроскопом определяются как кристаллохимические туфы в различной степени ожелезненные.

Текстура их пористая, в единичных случаях массивная с участками пористой. Структура алевритовая, кристаллохимическая, реже пелито-алевритовая и алеврито-гаммитовая. Пористая текстура обусловлена наличием пор, составляющих до 30-60% объема породы. Размеры их колеблются от 0,04 до 4 мм. Форма пор в основном округлая, шаровая, овальная. Обломочная часть туфов составляет около 45-70% объема породы и представлена следующими минералами: плагиоклазом, калиевым полевым шпатом, кварцем и слюдой. Размер обломков колеблется от 0,08 до 0,8 мм. Чаще встречаются обломки 0,03-0,1 мм в поперечнике. Цемент составляет около 30-55% объема породы и представлен измененным стеклом. Вторичные минералы представлены гидроокислами железа, хлоритом, пелитом, лейкосеном и карбонатом; акессорные — цирконом, рудным минералом. Ниже для сравнения приводится химический состав описанных туфов и образцов из Тункинской впадины (табл. I).

По классификации А.Н.Заварилского, туфы района с.Бодон относятся к ГУ классу пород, насыщенных кремнекислотой и к группе 13, умеренно богатой щелочами. Возраст туфов определен условно как верхнеплиоценовый. Верхняя возрастная граница их устанавливается на основании того, что они перекрываются отложениями чининской толщи верхнеплиоценового возраста. Нижняя возрастная граница не определена.

Ч и н и н с к а я т о л ѡ п а (№₂ εп). В Баргузинской впадине рыхлые неогеновые отложения широко распространены, но в большинстве своем перекрыты четвертичными осадками. Выходы их на дневную поверхность отмечаются по левому и правому бортам долины р.Бодона и в междууречье Чубуктен и Харалит. Они впервые были описаны В.В.Ламакиным и по спорово-пыльцевым комплексам отнесены к плиоцену. По данным буровых работ, неогеновые отложения всей Баргузинской впадины охарактеризованы С.М.Замараевым (1953, 1954), а Н.А.Логачевым проведено их сопоставление с соответствующими отложениями других впадин дальневосточного типа.

Анализируя данные предыдущих исследователей и собственные материалы, находим, что неогеновые отложения Баргузинской впадины лучше всего сопоставляются с чининской толщей, развитой во впадинах южной части Витимского плоскогорья.

Таблица I

Компоненты	Содержание, %			
	Базальты Тункинской впадины	Туфы Тункинской впадины	Туфы района с.Бодон	
I	2	3	4	
S10 ₂	47,32	65,00	54,36	
T10 ₂	1,76	0,60	0,67	
Al ₂ O ₃	18,24	14,90	19,05	
Fe ₂ O ₃	3,75	2,30	14,23	
FeO	7,83	0,90	1,27	
CaO	8,60	5,20	2,32	
MgO	6,22	1,90	1,83	
MnO	0,33	0,10	0,06	
N ₂ O	2,55	4,50	1,88	
K ₂ O	1,33	4,70	2,40	
P ₂ O ₅	0,37	0,10	0,27	
S ₂ O ₃	0,03	—	H/O	
H ₂ O	1,95	—	0,05	
Сумма		100,28	100,00	99,50
Химические характеристики по А.Н.Заварилову				
a	7,9	7,2	7,2	
c	8,8	8,1	2,8	
b	24,7	10,2	23,4	
s	53,6	73,5	61,6	
m	44,9	30,5	10,6	

Продолжение табл. I

I	2	3	4
f'	46,4	26,6	46,2
c'	8,7	42,8	-
a'	-	-	43,2
n	74,5	58,0	53,7
q	-7,4	+25,5	+6,0
a:c	-	-	2,5

Сводный стратиграфический разрез неогеновых отложений, состоятельный в районе с.Бородин и междууречье Чебурукчан - Харалит, представляется в следующем виде (снизу вверх):

- I. Кора выветривания 0,20м
2. Глина плотная, серая, песчаная 0,40"
3. Глина желтовато-серая, с прослоями супеси . . . 1,80"
4. Глины темно-коричневые, полосчатые, диатомовые 0,80"
5. Глины серые, слойстые 1,00"
6. Глины охлажденные, бурые 0,03"
7. Глины темно-коричневые, слойстые 0,30"
8. Глины ожелезненные, бурые 0,03"
9. Глины темно-коричневые, слойстые 0,50"
10. Глины ожелезненные, желто-бурые 3,00"
- II. Суглинки желтовато-серые 1,50"
12. Суглинки переслаивающиеся листья 13,60"
13. Глина серая, песчанистая 7,00"
14. Песок светло-серый, среднезернистый с примесью глинистого материала 9,00"
15. Песок, с примесью гравия, темно-коричневый . . 12,00"
16. Песок светло-серый, мелкозернистый, с прослоями темно-серых глин 18,00"
17. Песок с примесью гравия, серовато-желтый . . 14,00"
18. Песок светло-серый, мелкозернистый 10,00"
19. Серый, разнозернистый песок с примесью гравия и тонкими прослоями глин 50,00"
20. Песок, с примесью гравия, светло-серый, мелкозернистый 40,00"
21. Глина темно-серая с прослоями гравия 25,00"

ЧЕТВЕРТИЧНАЯ СИСТЕМА

Четвертичные отложения занимают обширные пространства Баргузинской впадины, а также долины рек и их склоны. Изучением четвертичных отложений Баргузинской впадины занимались многие исследователи: В.В.Ламакин (1950, 1952, 1954), С.И.Замараев (1953, 1954), Н.А.Логачев (1958, 1964), В.И.Конева (1955), Э.И.Равский и др. (1964). Несмотря на это, до сих пор нет единого суждения о генезисе и возрасте описываемых отложений. Учитывая материал, предоставленный исследователями и сюи собственные, на плодородии листа выделяются среднечетвертичные, верхнечетвертичные и современные отложения.

СРЕДНЕЧЕТВЕРТИЧНЫЕ ОТЛОЖЕНИЯ ($Q_1 II$)

К среднечетвертичным отложениям отнесены ледниковые и эолийско-ледниковые образования, связанные с оледенением первой и второй половины нижнего плейстоцена.

Ледники образовались в долине р.Ины. Моренные отложения состоят главным образом из скопления крупных глыб, размеры которых достигают 4-5 м в диаметре. Судить о их мощности трудно, так как здесь сохранились только остатки моренного рельфа. Возрастное положение морены определяется на основании того, что она перекрывается аллювиальными отложениями верхнечетвертичного возраста и, по данным Э.И.Равского и др.(1964), соответствует тазовскому оледенению (вторая половина нижнего плеистоцена).

В о л н о - л е д н и к о в и е о т л о ж е н и я нахо-

лее распространены и слагают песчаные массивы Сувинского и Ниж.Куйтунов. Судя по данным бурения (Шаронов, 1954г; Жуков, 1962г), эти отложения обладают довольно однообразным грануло-

метрическим и минеральным составом. В них преобладают разнозер-

нистые пески; реже встречаются отсортированные пески, а также

липцы мелкого галечника и гравия.

Приподнял разрез по скважинам I и 6 (Шаронов, 1954г), пробу-

ренным в центральной части Бартузинской впадины (снизу вверх):

1. Песок серый, разнозернистый, слюдистый, спло-		
с тонкими прослойками темно-серой, песчанистой, спло-		
дистой глины	21 м	
2. Глина темно-зеленая, песчанистая, слюдистая ,	19 "	
3. Песок желтовато-серый, мелко- среднезерни-		
стый, с грубоокатанным гравием	34 "	
4. Песок серый, разнозернистый, глинистый, с		
кварц-полевошпатовым гравием и прослойками темно-		
серых, черных, песчаных, сладистых плин	64 "	
5. Песчано-галечная порода разного минерально-		
го состава	18 "	
6. Песок серый, среднезернистый, отсортированный	20 "	
7. Песок темно-серый, мелкозернистый, хорошо		
отсортированный	40 "	
8. Песок темно-серый, разнозернистый, слюдистый		
с мелким, грубоокатанным гравием	8 "	
9. Песок светло- и темно-серый, разнозернистый,		
глинистый, слюдистый, с большим содержанием грубоок-		
танного гравия диаметром до 1 см	68 "	
10. Песок зеленовато-серый, разнозернистый,		
слабо глинистый, с большим содержанием грубоокатан-		
ного гравия диаметром 6-8 мм	12 "	

Суммарная мощность разреза составляет 304 м.

Возраст этих отложений определяется по находкам в песках Сувинского Куйтуна скоплений угнетенных форм (*Glyptaea auri-*
cularia (L), *Valvata aliena West*, *Risidium amnicum* (Mull.) как позднеэрекционный (Замараев, 1953г). По данным Э.И.Ранского (1964), накопление песчаных отложений Ниж.Куйтуна отвечает времени самаровского оледенения (нижний плейстоцен).

В е р х и е ч е т в е р т и ч н ы е о т л о ж е н и я (Q_{III})

Среди верхнечетвертичных отложений выделяются образования аллювиального и ледникового происхождения.

А л л у в и а л ь н ы е о т л о ж е н и я слагают низкие террасы рек Жаргаланты, Ины, Алы и Яссинской впадины. Высота их 5-7 м. З напряжении к впадине высота террас понижается и постепенно перекрывает более молодыми отложениями. Сложены они песчано-галечным материалом. Терраса р.Ины пристонона к гранитному массиву и имеет тыловой щов, покрытый делювиально-солифлюкционным шлехом. Разрез ее носит следующий характер (сверху вниз):

1. Пески и сугессы буровато-серые, слабо		
одобхренные, содержат мелкую гальку размером в		
поперечнике 5-7 см	0,5 м	
2. Валуно-галечные отложения, связанные		
крупнозернистым, желтовато-серым песком	0,8 "	
3. Гравий и галька, заключенные в крупнозер-		
нистом песке	0,4 "	
4. Пески серые, светло-серые	0,6 "	
5. Валуно-галечный материал, связанный крупно-		
зернистым песком	1,8 "	

По данным С.М.Замараева, в террасе р.Жаргаланты найдены остатки фауны верхнегалеолитического комплекса (*Coelodonta antiquitatis* (Blum), *Cervus* sp., *Ovis nivicola* Esch (Замараев, 1955г). Нижняя граница определяется на основании того, что эти отложения перекрывают Инскую морену среднечетвертичного возраста.

Л е д н и к о в и е о б о р а з о в а н и я развиты в Бартузинской впадине, средней части р.Улуг и в северо-западном горном обрамлении Бартузинской впадины. Среди отложений ледникового комплекса преобладают моренные мощностью от 40 до 50 м. В их составе преобладают валуны, вложенные в песчано-суглинистый материал. В отличие от морени среднечетвертичного возраста они не спускаются ниже отметки 900-1100 м и заходят на гореном склоне, представленном гранитами витимканского комлекса. Возраст их определяется как верхнечетвертичный (Равский и др., 1964).

Современные отложения (Q_{IV})

Современные отложения приурочены к долинам рек, впадинам, склонам водоразделов и подразделяются на аллювиальные, озерные, озерно-болотные, аллювийные, делювиальные и золовые.

Аллювийные отложения представлены образованием постоянных и временных водотоков. Ими сложены русла рек, поймы и напоименные террасы. Русловые отложения развиты по долинам всех рек. Сложенны они галькой, валунами разной степени окатанности, разнообразного состава и размера с примесью песка, гравия и суглинков. Пойменные отложения слагают террасы, возышающиеся над руслом на 0,5–5,0 м. Разрезы этих отложений изучались в бассейнах рек Богуны, Тасхи, Ины и Турукчи, где они имеют низкогородийский состав (сверху):

1. Почвенно-растительный слой
2. Тонко переслаивающиеся или и супесчаный

материал 0,5 "

3. Переслаивающиеся мелко-, средне- до крупно-зернистого песка, содержащего редкую гальку 1,0 "

4. Валуно-галечные отложения с пачано-гравийным заполнителем 3,5 "
Озерные и озере-брюльные отложения развиты в пониженных частях впадин, где слагают низкие аккумулятивные берега озер, служащих русел, проток. Представлена они песками, илами, песчанистыми и иловатыми глинями. Отмечается покровы торфа, мощность которого достигает 1–2 м.

Элювиальные отложенные распространены на плоских вершинах водоразделов и представлены глибовыми и фебенистыми россыпями. Они имеют очень разнообразный состав, начиная от глини песков до крупных глини и валунов. Петрографический состав их зависит от материнских пород.

Дельвильные отложенные распространены широко, образуя крупноглыбовые россыпи на склонах долин и водоразделов и состоят из глибово-глинисто-фебенистого материала. Наблюдается некоторая сортировка материала, которая выражается в том, что на более крутих склонах преобладает крупноглыбовый материал, а на более пологих — фебенисто-глинистый. Мощность их достигает 1–3 м.

ИНТРУЗИВНЫЕ ОБРАЗОВАНИЯ

Эоловые отложения распространены широкого в Баргузинской впадине. Развиты они на песчаных массивах Сувиńskiego и Ниж.-Куйтунов. В современных условиях переветренные пески образуют характерные формы дюн, высота которых достигает 1–1,5 м. Часть внутри их или в их подошве залягают погребенные почвы, в которых содержатся остатки орудий человека времени неолита и бронзового века.

ПОЗДНЕПРОТЕРОЗОЙСКИЕ ИНТРУЗИИ

Баргузинский комплекс

Интузивные образования занимают около 70% площади. Среди них выделяются: позднепротерозойский (баргузинский), раннепалеозойские (атарханский и витимитанский) интузивные комплексы, которые подразделяны на ряд фаз и финальных разновидностей.

Граниты, относенные к баргузинскому комплексу, слагают крупный бассейн с многочисленными провесами края, прорванными интузиями более молодого возраста. Пространственно он расположен в Центральной части птицы листа и вытянут с юго-запада на северо-восток. Ширина его в среднем 30–40 км, протяженность 80 км. Устанавливаются три фазы этого комплекса, между которыми наблюдалось четкие взаимоотношения. I фаза — среднезернистые и порфировидные, биотитовые, биотит-роторвообманковые граниты, гранитопорфириты и диориты, тибридные породы. II фаза — среднезернистые и порфировидные биотитовые, биотит-роторвообманковые граниты, гранитосиениты, сиениты. III фаза — мелко- и среднезернистые и лейкократовые, биотитовые граниты и их жильные производные: пегматиты, кварцевые жилы.

В целом для этого комплекса отмечаются следующие характерные черты: 1) преимущественно все граниты имеют гнейсовидную текстуру за счет однотипной ориентировки темповетвистых минералов, среднезернистое до крупнозернистое сложение, с неравномерно распределенными вкрашиваниями серого птицы глаза и редко разводами каменного полевого шпата; 2) довольно часто в них находятся осадочно-метаморфических пород, нередко налажено пересортирование материала. Состав таких тибридных образований 4-5-го зоноригам и гранитопорфиритам; 3) в экзоконтактовом ореоле гранит-

дов чаще всего наблюдаются метасоматически измененные породы и скважины.

Возраст гранитоидов баргузинского комплекса определяется как позднепротерозойский на основании того, что они прорывают отложения позднего протерозоя (суванжинская, тилимская свиты) и находятся в составе тальки континентальных массивов (ранний кембрий).

По данным работ аэрогеофизической партии (А.Л.Шильков, 1965; Муляков, 1966), для гранитоидов баргузинского комплекса характерна радиоактивность 6–8 микр/час. Магнитные поля, фиксируемые над ними, можно разделить на следующие типы: 1) более изрезанное и высокое (до +1000 гамм) для гранитоидов I фазы; 2) сплошное невысокое (до +400 гамм) положительное поле соответствует гранитоидам II фазы; 3) отрицательное (до -400 гамм) поле характерно для гранитов III фазы.

I фаза. Среднезернистые и порфировидные биотитовые, биотит-роговообманковые граниты, гранодиориты, диориты, сиениты, граносенинты и гибридные породы слагают на рассматриваемой площади четыре массива.

На водоразделе рек Большой Кунгурка, Асина, Ушканка обнажается значительный по размерам массив, содержащий крупные ксенолиты карбонатных пород тилимской свиты. Общая протяженность массива 22 км, ширина 10–12 км. Северная и северо-восточная части его сложены биотитовыми и биотит-роговообманковыми гранитами; в юго-восточной части, на водоразделе рек Асина – Ушканка, в виде полосы, шириной до 3 км, пролеживают сиениты и граносенинты; западная и юго-западная части сложены диоритами и гранодиоритами. Контактовые переходы между этими фациальными разновидностями постоянные. Второй массив расположен на водоразделе рек Акулки – Большой Кунгурка и имеет вытянутое в северо-восточном направлении форму (длина 14 км, ширина 4 км). Массив в плане об разует форму неправильного овала с плавными слабозернистыми линиями контакта. Петрографический состав однороден и представ лен диоритами. Третий массив расположен на водоразделе рек Имы и Шовокихана и имеет сложное строение. Примечательно не только наличием различных по составу гранитоидов, но и образованием гибридных пород. Кроме того, внутри массива сопреждется масса непереработанных ксенолитов метаморфических пород верхней подсвиты суванжинской свиты. Четвертый массив расположен на водоразделе рек Шолоканка и Шовокихана. Общий площадь обнаженной части его около 18 км². Сложен однообразными, средне- крупнозернистыми, биотитовыми, порфировидными

гранитами.

Граниты ($\gamma_1 Pt_3 \beta_1$) характеризуются средне-, крупно- и мелкозернистой структурами, серой и светло-серой окраской, массивной и гнейсовидной текстурой и неравномерно выраженной порфировидностью. Порфировые вкрашения представлены кристаллами серого плагиоклаза, иногда микроклинин. Размеры вкрашений от 0,5х1,5 до 1,5х2,5 см. Содержание порфировидных вкрашений колеблется в пределах 10–20%. Ориентировка их отсутствует. Структура гипидроморфно-зернистая и порфировидная, с гипидроморф-нозернистой основной массой. Текстура массивная, гнейсовидная. Главные породообразующие минералы представлены (в %): плагиоклазом – 40–50, калиевым полевым шпатом – 20–30, кварцем – 25–30, биотитом и роговой обманкой – 10–15; вторичные – серпентитом, сростком, альбитом, пегматитом, мусковитом, альбитом, хлоритом, амессорные – сференитом, апатитом, пироксено-рудным минералом.

Граниты ($\gamma_4 Pt_3 \beta_1$), доломиты ($\delta_1 Pt_3 \beta_1$) имеют средне- и мелкозернистое сложение, серую и темно-серую окраску, массивную и гнейсовидную текстуру, гипидроморфно-зернистую структуру. Главные породообразующие минералы (в %): плагиоклаз № 30–35 – 50–60, кварц – до 15, роговая обманка – 10–15, калиевый полевой шпат – 5–10, биотит – 5–10. Вторичные – серпентит, пеллит, эпилит, хлорит, карбонат. Аксессорные – сференит, циркон, рудные минералы.

Сиенитические граниты ($\gamma_4 Pt_3 \beta_1$) характеризуются среднезернистым, реже мелкозернистым сложением, серой окраской и неравномерно выраженной порфировидностью. Порфировидные вкрашения представлены гранитоидами полевого шпата серого цвета размером в 1–1,5х1,5–2 см. Ориентировка отсутствует. Структура их гипидроморфно-зернистая и порфировидная с гипидроморфно-зернистой основной массой, текстура массивная и гнейсовидная. Главные породообразующие минералы (в %): калиевый полевой шпат – 35–50, олигоклаз № 20–25 – 30–45, биотит – 7–15, кварц – 5–15, роговая обманка – 5–7. Вторичные – серпентит, альбит, эпилит, мусковит, карбонат, гидрослюдя железа. Аксессорные – апатит, сференит, циркон, магнетит.

Химический состав гранитоидов фазы баргузинского комплекса охарактеризован в табл. 2.

Продолжение табл.2

Таблица 2

Компо- ненты	I		2		3		4		5		6		7		8	
	I	2	3	4	5	6	7	8	I	2	3	4	5	6	7	8
SiO ₂	59,88	60,26	60,72	61,92	62,28	63,24	66,94	69,20	25,0	8,0	16,4	14,7	13,4	14,3	37,2	41,9
Al ₂ O ₃	15,90	17,39	16,67	16,80	16,68	15,92	14,75	14,66	0,9	0,9	0,7	0,7	0,7	0,7	0,4	2,0
TiO ₂	1,24	0,67	0,54	0,65	0,63	0,55	0,48	1,10	—	—	—	—	—	—	—	—
Fe ₂ O ₃	4,56	1,33	1,74	1,85	2,24	1,62	1,29	2,11	—	—	—	—	—	—	—	—
FeO	3,58	3,26	3,54	3,57	2,74	2,67	2,53	0,91	—	—	—	—	—	—	—	—
MnO	0,27	0,09	0,11	0,15	0,08	0,07	0,07	0,10	—	—	—	—	—	—	—	—
MgO	2,74	2,89	3,78	2,58	2,19	3,07	2,31	0,83	—	—	—	—	—	—	—	—
CaO	3,63	5,08	5,39	5,01	4,25	4,98	4,45	1,16	—	—	—	—	—	—	—	—
K ₂ O	2,70	4,20	2,60	3,20	4,40	3,45	3,45	4,90	—	—	—	—	—	—	—	—
Na ₂ O	4,40	3,50	3,90	3,30	3,76	3,55	3,80	4,50	—	—	—	—	—	—	—	—
P ₂ O ₅	0,32	0,22	0,21	0,25	0,19	0,29	0,19	0,13	—	—	—	—	—	—	—	—
SO ₃	—	H.O.	H.O.	—	—	—	—	—	—	—	—	—	—	—	—	—
П.п.п.	0,21	0,83	0,65	0,60	0,56	0,12	0,40	0,56	—	—	—	—	—	—	—	—
Σ	99,43	99,72	99,85	99,64	100,37	99,54	99,86	100,16	—	—	—	—	—	—	—	—

Числовые характеристики по А.Н.Заваричному

Примечание. 1 - граниторит, бассейн р.Дюгольжин; 2 - диорит, бассейн р.Акул; 3 - диорит, бассейн р.Акул; 4 - гранодиорит, верховье р.Асын; 5 - гранит, верховье р.Асын; 6 - гранит, бассейн р.Шолококан; 9 - гранодиорит, бассейн р.Акул.

Для них характерно заметное преобладание натрия над калием, пресыщенность глином, повышенная общая железистость, что обясняется наличием в некоторых породах большого количества магнетита. Некоторые анализы (3,4,6) показывают, что породы приближаются к биотитовым гранитам и представляют собой более поздний продукт кристаллизации гранитной матки, так как они более богаты шелочами и кремнеземом.

Характерные акцессорные минералы различных разновидностей гранитолов I фазы бартузинского комплекса приведены в табл.3. Из данной таблицы видно, что гранитолы I фазы бартузинского комплекса характеризуются магнетит-сфен-апатитовой ассоциацией с пироконом, флюоритом, пиритом.

Спектральным анализом 50 склоновых проб в них установлены содержания (в %): никеля - 0,001-0,01, хрома - 0,001-0,01, кобальта - 0,001-0,06, цинка - 0,007-0,02, синива - 0,001-0,02, циркония - 0,001-0,03, бериллия - 0,0001-0,001, иттрия - 0,001-0,005, лития - 0,001-0,002. Гранитолы I фазы бартузинского комплекса прорывают осадочно-метаморфическую толщу позднего перекоя (бассейн р.Умпакана) и в свою очередь секутся гранитами III фазы бартузинского комплекса (бассейн р.Шолококана) и гранитами витимканского комплекса (бассейн р.Асына, Умпакана). Истолчный возраст гранитолов I фазы, определенный по биотиту калий-аргоновым методом, исчисляется в 325 млн. лет X/. Определение произведено в лаборатории БГУ.

X/ Здесь и далее по тексту занесены возраст гранитов, определяются за счет наложенных на них горных процессов (прим. автора)

Таблица 3

Минера-	Номера проб							
	1	2	3	4	5	6	7	8
Сфен	1,12	9,74	1,56	12,6	17,81	15,6	6,1	II,56
Магнетит	4,17	14,77	12,85	4,77	53,0	3,05	9,17	14,6
Циркон	3н.	0,3	0,9	0,74	3н.	0,38	-	0,03
Апатит	0,27	0,32	1,09	1,86	3,2	2,4	7,53	0,02
Ортит	-	3н.	-	-	-	-	3н.	-
Турмалин	-	3н.	-	-	-	-	3н.	-
Флюорит	-	3н.	3н.	3н.	3н.	3н.	-	-
Молибде-	-	3н.	-	3н.	-	-	-	-
нит	-	-	0,1	0,2	3н.	3н.	-	-
Пирит	-	-	-	-	-	-	-	-
Вес про- бы в кг	0,41	1,67	9,7	5,1	6,2	5,7	4,75	9,7

П ф а з а. Среднезернистые и порфировидные биотитовые и биотит-роговообманковые граниты, граносиениты, сиениты, гранодиориты слагают четыре массива. Наиболее крупный из них расположен в юго-западной части плодородия листа и слагает водораздел рек Ямбуя, Уро, Ини. Массив имеет неправильную, несколько вытянутую в северо-восточном направлении форму. Ширина 32 км, протяженность 46 км. Юго-восточная и южная части его сложены среднезернистыми по крупнозернистым биотитовыми и биотит-роговообманковыми порфировидными гранитами и граносиенитами. Северо-восточная часть массива (бассейн р.Ини) сложена среднезернистыми биотитовыми, иногда биотит-роговообманковыми граносиенитами, гранитами, гранодиоритами. Между ними всегда наблюдаются постепенные переходы. Северо-западная часть массива (бассейн р.Уро) сложена исключительно породами сиенитового состава. Второй массив слагает юго-восточный борт Баргузинской впадины и имеет вытянутую в северо-восточном направлении форму. Очертания его извилистые, неровные. Длина 75 км, ширина 4-6 км. Сложен он не равномерно зернистыми, биотитовыми гранитами и сиенитами, в северо-восточной части переходящими в порфировидные биотитовые граниты. Массив, расположенный на правобережье р.Турукчи, ниже

устья р.Богунчи, имеет неправильную форму, вытянутую в северо-восточном направлении. Длина его около 20 км, ширина 5-6 км. Массив слабо дифференцирован от гранитов до гранодиоритов. В устье р.Акули закартирован еще один массив в виде ксенолита среди гранитолов Шафэз баргузинского комплекса. Сложен одиночными биотитовыми порфировидными гранитами. Общая площадь около 2 км².

Граниты и граносиенты ($\text{K}_2\text{Pt}_3\text{f}_1$) макроскопически имеют серую и светло-серую окраску, среднезернистую, реже крупнозернистую структуру, иногда хорошо выраженную порфировидность. Порфировидные включения представлены таблитчатыми, серыми и розовато-серыми кристаллами полевого шпата размером 1,5х2 см. Содержание их около 20%. Распределение в основной массе породы равномерное, ориентировка отсутствует. Под микроскопом граниты и граносиенты имеют типичноморфозернистую и порфировидную структуры с типичноморфозернистой структурой основной массы. Текстура массивная, иногда гнейсированная. Главные породообразующие минералы (в %): кальевый полевой шпат - 35-70, плагиоклас - 20-65, кварц - 20-35 в гранатах и (10-15%) в граносиентах, биотит - 5-15, роговая обманка - 5-10. Вторичные - хлорит, эпилом, серцит, хлорит, кусковый, албит. Аксессорные - сфен, циркон, апатит, рутил, рутиловые минералы.

Сиениты ($\text{K}_2\text{Pt}_3\text{f}_1$) характеризуются среднезернистым, реже крупнозернистым сложением, серой и желтовато-серой окраской. Структура их типично морфозернистая, участками поликристаллов, текстура массивная. Главные породообразующие минералы (в %): микроклин-пертит - 40-75, плагиоклас - 3-30, кварц - 5, роговая обманка - до 5, биотит - 5-7. Вторичные - пелит, эпилом, хлорит, серцит, гидроокислы железа. Аксессорные - сфен, апатит, рутил, рутиловые минералы.

Гранодиориты ($\text{K}_2\text{Pt}_3\text{f}_1$) - серые и темно-серые, среднезернистые породы с типично морфозернистой структурой, массивной и гнейсовидной текстурой. Главные породообразующие минералы (в %): альбезит - 40-60, биотит - 28-35, микроклин - до 10, кварц - до 8, роговая обманка - 5-10. Вторичные - серцит, хлорит, биотит, пелит. Аксессорные - сфен, циркон, апатит, рутиловые минералы.

Химический состав пород II фазы приведен в табл.4.

Таблица 4

Компо- ненты	1	2	3	4	5	6	7	8	9	10
SiO ₂	59,24	59,52	59,76	59,34	60,72	60,98	61,06	61,10	61,68	61,76
Al ₂ O ₃	15,76	19,95	18,91	18,04	18,33	16,56	19,25	16,17	16,76	16,69
TiO ₂	1,27	0,89	1,0	0,70	0,55	1,24	0,78	0,97	0,55	0,82
Fe ₂ O ₃	3,29	2,45	2,06	2,71	1,77	2,36	2,21	2,26	1,77	2,18
FeO	2,27	1,60	1,90	2,92	3,38	3,60	1,81	3,87	3,38	3,0
MnO	0,08	0,12	0,08	0,11	0,09	0,30	0,08	0,14	0,09	0,08
MgO	2,16	1,27	1,09	2,36	1,14	2,92	2,56	2,36	2,34	—
CaO	2,66	1,99	2,77	4,07	1,03	4,78	4,00	5,52	4,96	4,97
K ₂ O	4,70	6,12	6,0	5,30	6,87	2,36	4,00	3,70	3,26	3,40
Na ₂ O	5,0	5,0	5,0	4,05	6,00	3,70	4,50	3,70	3,70	4,10
P ₂ O ₅	—	0,41	0,18	0,15	0,03	0,10	0,32	0,02	0,23	0,07
SО ₃	—	H.O.	H.O.	H.O.	H.O.	H.O.	—	H.O.	0,03	—
Л.п.п.	0,41	0,35	0,45	0,45	0,38	0,47	0,40	0,35	0,77	0,33
Σ	99,25	99,44	99,17	100,03	100,42	99,59	100,47	100,61	99,54	99,93

Числовые характеристики по А.Н.Заваричному

Мине- ралы	Номера проб								
	1	2	3	4	5	6	7	8	9
Апатит	1,46	4,47	1,97	4,02	6,8	24,15	1,25	1,05	0,3
Флюорит	—	3H.	0,01	3H.	3H.	—	3H.	3H.	3H.
Магне- тизм	1,05	28,45	—	—	0,15	8,0	1,22	3H.	—
Циркон	0,86	5,63	0,76	0,67	5,02	0,85	0,68	0,65	0,13
Сфен	3,53	29,1	0,95	13,2	57,69	2,9	3H.	0,32	0,78
Рутил	—	—	3H.	—	—	—	—	—	—
Пирит	—	3H.	0,51	0,01	3H.	—	3H.	3H.	—
Молиб- денит	—	—	3H.	—	—	—	—	3H.	—
Вес про- б в	0,58	8,35	5,76	3,85	9,2	5,3	3,3	2,4	0,67

Таблица 5

Примечание. 1 - граносенит, верховье р.Шолококан; 2 - сиенит, бассейн р.Уро; 3 - сиенит, бассейн р.Уро; 4 - гранит, бассейн р.Уро; 5 - гранит, верховье р.Гакши; 6 - граносенит, устье р.Шолококана; 7 - граносенит, бассейн р.Граа.Суро; 8 - гранит, устье р.Шолококана; 9 - гранит, бассейн р.Уро; 10 - гранит, верховье р.Гакши.

По химическому составу они ближе всего стоят к группе шелочноземельных роговообманковых сиенитов. Результаты пересчетов химических анализов показывают, что эти породы относятся к нормальному ряду и принадлежат к классу 3 слабопересыщенных кремнеземом и к группе 8 богатых шелочными городами. Отдельные представители относятся к классу 4 насыщенных кремнеземом и к классу 2 пересыщенных кремнеземом пород, а также к группе 13, умеренно богатой шелочами (по А.Н.Заваричному).

Характерные акцессорные минералы II фазы приведены в табл.5.

Как видно из таблицы, преобладающее значение имеет магнетит- сфено-апатитовая ассоциация с цирконом, ильменитом, флюоритом, рутилом, пиритом. По данным спектрального анализа ГЗО скопловых проб, устанавливается в них содержание (в %) хрома - 0,001-0,01, никеля - 0,001-0,01, кобальта - 0,001-0,006, меди - 0,001-0,003, свинца - 0,001-0,01, цинка - 0,006-0,03, циркона - 0,01-0,03, берилля - 0,001-0,003, иттербия - 0,001-0,003. Взаимоотношение гранитоидов этой фазы с осадочно-метаморфическими породами

позднего протерозоя наблюдалось в бассейнах рек Суво, Турукчи, с гранитоидами III фазы саргизинского комплекса в бассейнах рек Уро, Шолококана, Турукчи и др.; с гранитоидами атарханского и витимского комплексов в бассейнах рек Шолококана, Ини, Ари-Алтана, Суво. Изотопный возраст гранитов II фазы саргизинского комплекса, определенный калий-аргоновым методом по биотиту (обр. № 5053), исчисляется в 324 млн. лет. Определение произведено

в лаборатории БГУ.

Ш ф а з а. Мелко-, среднезернистые, лейкораковые, дю-тиловые граниты слагают крупный массив на водораздельной части рек Шовокикана - Шолококана - Ини, Акули, имеющий в плане вытянутую в северо-западном направлении форму. Контуры массива плав-ные, контакты с вмещающими породами четкие. Юго-западное окон-чание его уходит за пределы площасти. Протяженность его около 70 км, ширина до 25 км. Кроме того, такими же гранитами сложен небольшой массив на водоразделе рек Прав. Суво - Уро, площадь ко-торого не превышает 15 км² и на водоразделе рек Большой Кунгу-лик - Акули - 4 км². Все граниты, слагающие эти массивы, весьма однообразные по составу, структуре и внешним признакам. Структура гранитов изменяется только в эндоконтактовых зонах, где обыч-но наблюдаются более мелкозернистые разности и в их составе уве-личивается содержание темноцветных минералов, в частности биоти-та. Иногда появляются пегматоидные выделения, образующие непра-вильные линзы и жилы, размером не сколько десятков сантиметров.

Т р а н и т ($T_3Pt_3S_1$) серии с розоватым оттенком, среднезернистые массивные и гнейсовидные. Структура их гранито-ва, гнейсоморфозернистая. Главные пордообразующие минера-лы (в %): кварц - 25-30, плагиоклаз - 20-25, микроклин - 40-60, биотит - 5-15. Вторичные минералы представлены хлоритом, сериди-том, пеллитом; акцессорные - алатитом, сфеном, пироксном, рудными минералами. Мелкозернистые граниты от среднезернистых отличают-ся только размерами зерен. Данные химического состава приведены в табл. 6.

Все разновидности гранитов III фазы несколько пересыщены гли-ноzemом. По данным пересчетов анализов, средняя величина парамет-ра "a" составляет 14,6, а по А.Н. Заварыкову и Р.Дэли, она состав-ляет в среднем локомбрриском граните 13,4. Обладают пониженным параметром "c", который колеблется от 0,8 до 1,7, а в гранитах, по Р.Дэли, 2,4. Объясняется это, по-видимому, составом плагио-клиза. Коэффициент "b" колеблется от 1,7 до 8,6, что связано с изменением содержания биотита в гранитах. Большинство гранитов

III фазы обладает повышенными значениями коэффициента кислотности "q" и параметра "p", что указывает на преодоление окиси натрия над окисью кальция.

Таблица 6

Компо-ненты	I	2	3	4	5	6	7
SiO ₂	70,60	72,14	71,30	74,36	73,64	74,70	75,30
Al ₂ O ₃	14,34	16,11	14,65	13,63	13,63	14,05	12,89
TiO ₂	0,16	0,18	1,19	0,19	0,16	0,20	0,19
Fe ₂ O ₃	1,20	0,39	1,18	0,59	0,51	0,54	0,79
FeO	0,87	0,87	0,94	0,95	0,80	0,73	0,44
MnO	0,04	0,05	0,05	0,06	0,04	0,07	0,06
Na ₂ O	0,97	0,57	0,54	0,75	1,63	1,08	0,34
CaO	0,76	1,54	1,50	1,07	1,28	1,33	0,91
K ₂ O	6,00	3,50	4,60	3,80	4,10	4,30	3,60
Na ₂ O	4,20	4,30	3,95	4,20	3,90	3,60	4,50
P ₂ O ₅	0,04	0,06	0,05	0,06	0,04	0,02	0,04
SO ₃	0,14	H.O.	H.O.	0,02	0,01	-	0,03
П.п.п.	0,49	0,42	0,38	0,46	0,27	0,11	0,20
Σ	99,81	100,13	100,32	100,10	100,01	100,73	99,29

Химические характеристики по А.Н. Заварыкову

Продолжение табл. 6

Компо- нента	1	2	3	4	5	6	7
п	51,5	65,1	56,6	63,0	58,9	55,8	65,8
ф	34,8	36,7	22,9	16,0	14,3	93,8	38,5
т	0,2	0,2	1,2	0,3	0,2	0,3	0,2
к	21,2	23,0	24,6	33,0	34,1	33,2	35,1
а	-	76,5	61,0	20,0	14,3	31,2	-
с	4,8	-	-	-	-	3,9	
и	33,3	10,3	13,0	36,0	35,7	42,2	30,8
г'	61,9	13,2	26,0	44,0	50,0	26,5	65,3

Примечание. 1 - гранит, водораздел рек Шовокчана - Кылжигита; 2 - гранит, бассейн р.Гакши; 3 - гранит, верховье р.Прав. Суло; 4 - гранит, верховье р.Шовокчана - Кылжигита; 5 - гранит, водораздел рек Шовокчана - Кылжигита; 6 - гранит, верховье Шовокчана.

Характерные акцессорные минералы III фазы приведены в табл. 7.

Таблица 7

Минералы	Номера проб					
	1	2	3	4	5	6
Магнетит	8,16	16,65	13,17	9,23	2,72	3,6
Сфен	0,27	0,22	4,25	2,75	0,32	0,34
Радиоак- тивный циркон	3H.	0,02	-	3H.	-	-

Продолжение табл. 7

Минералы	Номера проб						
	1	2	3	4	5	6	7
Аллатит	0,13	0,65	0,47	0,26	0,09	0,01	0,01
Циркон	0,15	0,1	0,06	0,14	0,04	0,02	0,02
Ортит	3H.	3H.	0,01	-	-	3H.	3H.
Флюорит	0,1	3H.	3H.	-	-	-	-
Ильменит	3E.	2,8	-	0,23	-	-	-
Пирит	-	3H.	3H.	-	-	-	-
Вес про- толочки в кг	0,7	4,4	2,1	0,609	0,81	0,685	0,4

Состав акцессорных минералов меняется в незначительных пределах. Наиболее изменчивым является распределение магнетита и сфена. Это связано, по-видимому, с влиянием контаминационных явлений. Преобладающее значение имеет, как и для первых двух фаз, магнетит-сфен-аллатитовая ассоциация с цирконом, ильменитом и флюоритом. Спектральным анализом 30 сколковых проб в них установлено содержание (в %): никеля - 0,001-0,002, кобальта - 0,001-0,002, молибдена - 0,001-0,02, меди - 0,001-0,007, свинца 0,001-0,007, цинка - 0,001-0,02, серебра - 0,0001-0,02, олова - 0,0003-0,002, бериллия - 0,0001-0,002, иттрия - 0,001-0,002, лития - 0,01-2,02.

По распределению микроэлементов в гранитах III фазы бартунинского комплекса можно судить, что их ассоциация сходна с ассоциацией микроэлементов в гранитоидах I и II фаз, но наряду с этим, имеется некоторое индивидуальное отличие по присутствию молибдена, серебра, ниobia, лития.

Возраст гранитоидов III фазы бартунинского комплекса определяется на основании того, что они прорывают метаморфическое толщ

верхнего протерозоя (бассейн рек Инн, Кунгулка) и находятся в гальке контоломератов нижнего кембрия (бассейн р. Асни).

Дайковые образования

Дайковые породы баргузинского комплекса представлены мелкими массивами гранитами и пегматитами. Пространственно они тянутся к массивам баргузинского комплекса, расположаются внутри или на небольшом удалении, в пределах имеющих осадочно-метагоритических пород верхнего протерозоя. Генетически дайковые образования связываются с гранитами III фазы баргузинского комплекса на основании того, что они прорывают все гранитоиды этого комплекса и наблюдаются в гальке контоломератов малынгтенской свиты.

М е л к о з е р н и с т ы е г р а н и т ы ($\text{Ca}_{3}\text{Pt}_{3}\text{Si}_6$) слагают лайки и жилы мощностью от нескольких сантиметров до 2–3 м. Простирание их преимущественно северо-восточное ($40\text{--}70^\circ$). По простиранию продолжается на десятки, иногда на сотни метров. Макроскопически это светло-серые, серые и розово-серые породы. Структура албитовая, гипидиоморфно-зернистая, гранитная; текстура массивная. Минеральный состав (в %): кварц – 30–35, магнезит – 15–40, плагиоклаз – 35–50. В незначительных количествах присутствуют биотит, изредка мусковит. Из аксессорных минералов присутствуют сфен, циркон, ортит, рудный минерал.

П е г м а т и т ы ($\text{Ca}_3\text{Pt}_3\text{Si}_6$), связанные с баргузинским

комплексом, не дают крупных жил и пегматитовых полей. Они образуют малоощущенные прожилки, плиообразные выделения различной формы. Иногда слагают жилья мощностью до 1–2 м. Ориентировка их различная. Часто они приурочены к трещинам отдельности северо-восточного и северо-западного направлений. В зонах эндогонтакта и в ксенолитах вмещающих пород простирание их соппадает согласно со

сланцеватостью и гнейсовидностью вмещающих пород. Контакты с гранитами чаще нечеткие, расплывчатые. Макроскопически это желто-вато-серые и розово-серые, крупнозернистые породы, состоящие (в %) из микроклин – 25–50, плагиоклаза – 10–20, кварца – 20–30. Кроме того, отмечаются чешуйки биотита, мусковита и роговой обманки.

В этой группемагматических пород выделяются два комплексы атарханский и ютикманский.

Атарханский интрузивный комплекс (УРЧат)

К атарханскому комплексу мы относим габбро, габбро-диориты, габбро-диориты и диориты, слагающие несольшие штокообразные тела. Наиболее крупные массивы имеют размеры $7\text{--}15 \text{ км}^2$ и расположены в левом борту долины р. Прив. Суво и на водоразделе рек Лев. Алтан-Шовокан. Более мелкие тела площадью 1–2,5 км² распространены в верховьях рек Турукчи, Долгожника и Суво. В большинстве случаев породы атарханского комплекса приурочены к зонам тектонических нарушений.

Г а б б р о , г а б б р о - д и о р и т ы – темно-серые, черные с зеленоватым отливом породы массивной текстуры и среднезернистой структуры. Под микроскопом структура их габбровая, призматическая-зернистая, пойкилитовая. Главными породообразующими минералами (в %) являются: плагиоклаз № 38–45 и № 50–60–20–80, ромбический пироксен – 5–60, роговая обманка до 45–50. Эпилематические минералы представлены актинолитом, соссюритом, лейкоксеном, хлоритом, серцилом, эпидотом, биотитом, калиеволитом, биотитом и роговой обманкой; аксессорные – апатитом, сфе-ром, магнетитом.

Габбро-диориты – серые, темно-серые, среднезернистые, реже мелко- и крупнозернистые породы массивной текстуры. Структура суббитовая, с ясно выраженным идиоморфизмом плагиоклаза по отношению к темноволетним минералам, призматическая-зернистая, реже порфириовидная с призматической-зернистой структурой основной массы. Главные породообразующие минералы (в %): плагиоклаз № 30–50 – 10–60, роговая обманка – 15–40, моноклинный и ромбический пироксен – 5–60, биотит – до 5–7. Вторичные – хлорит, эпидот, серцил, актинолит, кальцит, соссюрит. Аксессорные – апатит, сфен, судные минералы.

Д и о р и т ы имеют темно-серую, серую окраску, среднезернистую, реже мелкозернистую структуру и массивную текстуру. Главным породообразующим минералом их является (в %): плагиоклаз № 40–45 – 40–70, роговая обманка – 10–40, ромбический и моноклинный пироксен – 5–10, биотит – 2–20, калиевый полевой шпат –

До 10. Эпимагматические изменения в породах проявлены в образовании альбита, сериита, хлорита, эпилита, биотита. Аксессорные минералы представлены апатитом, сфеном и рудным минералом.

Химический состав пород комплекса приведен в табл. 8.

Химический состав их и пересчет по методу А.Н.Заварийского показывают, что породы атарханского комплекса относятся к классу пород, слегка недосыщенных кремнекислотой и группе, бедной щелочами (табл. 7).

Спектральным анализом 20 скважинных проб установлено, что содержание (%) никеля - 0,001-0,007, свинца - 0,001-0,002, никония - 0,003-0,006.

Раннепалеозойский возраст пород атарханского комплекса определяется на основании того, что они прорывают метаморфические породы типимской свиты (верховье рек Турукчи и Суво) верхне-терозойского возраста и майдалгесской свиты (бассейн р. Асын) нижне-кембрийского возраста, а также гранитолиты бартузинского интрузивного комплекса (верховье рек Суво, Турукчи) и в свою очередь прорываются гранитолитами витимканского интрузивного комплекса (верховье р. Чюлокана). По данным аэрофизических работ (А.Л.Шильков и др., 1965 г.; Муликов и др., 1966), для пород атарханского комплекса характерны отрицательные магнитные поля (до -1500 гамм) и низкие радиоактивные поля (2-3 мкР/час).

Витимканский интрузивный комплекс

В составе витимканского комплекса выделяются три фазы и ряд фациальных разновидностей.

I фаза. Порфировидные биотитовые, биотит-рогоносоманковые граниты, граносенинты и сиениты слагают восторазделенную часть рек Болугна - Улуг - Улычкан, Болугна - Нерутан и бассейн р. Нерутан. Массив имеет неправильную форму, вытянутую в северо-западном направлении. Вмещающими породами его являются метаморфические образования суванининской свиты. Протяженность его около 20 км, ширина - 3-9 км. В его составе выделяются порфиро-видные разности гранитов, сиенитов и граносенинтов. Среди вышеуказанных петрографических разновидностей наиболее распространены граниты. Сиениты и граносенинты находятся в подчиненном количестве и слагают небольшие участки среди гранитов. С гранитами они имеют постепенное переходы через граносенинты и кварцевые сиениты (бассейн р. Болугна).

Таблица 8

Компо- ненты	1	2	3	4	5	6	7	8
SiO ₂	42,22	44,02	45,28	45,90	45,94	46,26	47,50	47,28
Al ₂ O ₃	15,73	18,91	23,57	17,73	15,98	9,31	24,40	12,61
TiO ₂	2,19	0,89	0,28	1,50	0,91	1,23	0,77	0,81
Fe ₂ O ₃	5,27	6,II	1,01	5,34	2,71	2,92	3,0	3,38
FeO	6,59	7,18	5,17	5,19	6,0	6,II	3,45	6,43
MnO	0,14	0,15	0,08	0,15	0,12	0,12	0,05	0,13
MgO	8,41	5,59	9,84	7,41	8,83	14,0	3,44	10,17
CaO	14,72	9,59	11,40	12,27	14,81	16,38	13,01	15,50
K ₂ O	0,50	1,40	0,50	1,0	0,93	0,52	0,79	1,10
Na ₂ O	1,70	3,30	2,10	2,90	1,60	1,0	2,50	1,85
P ₂ O ₅	0,62	0,22	0,04	0,43	0,07	0,21	0,04	0,04
SO ₃	0,31	0,59	0,11	H.o.	0,26	0,10	H.o.	
П.п.	1,01	1,24	0,22	0,79	2,26	1,43	0,44	0,56
Σ	99,41	99,18	99,60	100,52	100,17	99,75	99,53	99,81

Числовые характеристики по А.Н.Заварийскому

	a	b	c	a:c	a	a'	c	n
	4,5	10,0	5,7		15,0	-	-	
	35,6	39,9	25,6		51,3	54,2	55,7	
	8,6	4,1	14,0		0,5	2,4	0,4	
	6,6	14,6	15,2		15,0	-	-	
	27,5	42,0	3,3		41,1	25,5	72,2	

Продолжение табл.8

	I	2	3	4	5	6	7	8
r'	31,4	32,5	27,7	32,9	24,0	17,6	39,9	22,8
α	84,4	77,9	87,1	81,0	72,2	76,2	81,6	71,4
φ	16,2	13,9	3,5	16,3	28,1	5,2	16,5	11,0
t	3,8	1,5	1,4	1,5	1,4	1,9	1,2	2,5

Примечание. 1 - среднезернистое габро,萼带 раздел рек Лев.Алган-Шовокикан; 2 - мелкозернистый габро-диорит; левобережье р.Ини, среднее течение; 3 - неравномернозернистое габро, левобережье р.Прав.Суро; 4 - среднезернистое габро, верхнее течение; 5 - среднезернистое габро, левобережье р.Ини, среднее течение; 6 - среднезернистое габро,萼带 раздел рек Лев.Алган - Шовокикан; 7 - неравномернозернистый габро-норит, левобережье р.Прав.Суро; 8 - среднезернистый габро-диорит, левобережье р.Ини, среднее течение.

Гранит (r_1, Pz_1, v_1) характеризуется среднезернистой и крупнозернистой, реже мелко- и неравномернозернистой структурой, серой, светло-серой и розово-серой окраской и неравномерной порфировидностью. Порфировидные включения представлены кристаллами плагиоклаза и микроклина размером до 1,5x2,5 см, преобладают размеры 1х1,5 см. Содержание их не выдержанное и колеблется от 5 до 25%. Ориентировка вкраплений отсутствует. Главными породообразующими минералами являются (в %): калиевый полевой шпат - 20-60, плагиоклаз № 16-26 - 30-60, биотит - 5-10, роговая обманка - 10-15. Содержание кварца в гранитах 20-25%, в гранитах в сортированных, пелитизации, мусковитизации полевых шпатов и эпилитизации и хлоритизации темноцветных минералов. Из акцессорных присутствуют апатит, сфен, циркон, рудный минерал.

Сиениты (E_1, Pz_1, v_1), Транссиениты (Tt_1, Pz_1, v_1) имеют среднезернистое, реже мелко- и неравномернозернистое сложение, серую, розовато-серую окраску и массивную текстуру. Структура их типично монзо-зеленая и призматическая зернистая. Главными породообразующими минералами (в %) являются: плагиоклаз № 25 - 55-70, калиевый полевой шпат - 10-15, биотит - 10-15, кварц - 5-18. Вторичные минералы представлены хлоритом, серик-

цитом, эпилитом, пелитом, мусковитом. Аксессорные - апатит, сфен, циркон, рудный минерал.

Результаты химических анализов гранитоидов I фазы приведены в табл.9.

Таблица 9

Юниты	I	2	3	4	5	6	7	8
SiO_2	59,32	62,52	66,90	68,32	73,01	69,60	68,0	64,82
Al_2O_3	18,91	17,04	16,58	15,26	13,56	14,71	16,63	16,70
TiO_2	0,70	0,78	0,35	0,31	0,26	0,33	0,85	0,79
Fe_2O_3	2,41	1,78	1,37	1,20	1,19	1,43	0,14	2,03
FeO	4,07	3,09	1,54	2,46	1,40	1,96	1,46	2,20
MnO	0,15	0,11	0,04	0,10	0,05	0,09	0,07	0,05
MgO	2,13	1,60	1,55	1,08	1,02	1,27	1,07	1,17
CaO	4,98	4,50	2,59	3,60	1,24	2,48	2,52	2,54
K_2O	2,60	1,80	4,70	3,90	4,40	3,80	5,00	5,3
Na_2O	4,30	4,40	3,58	3,50	3,20	3,10	3,65	4,2
P_2O_5	0,27	0,22	0,10	0,11	0,05	0,10	0,14	0,12
SiO_3	-	-	-	-	-	-	0,22	0,03
П.п.п.	0,45	1,68	0,18	0,18	0,59	0,60	0,11	0,26
Σ	100,29	99,52	99,43	100,02	99,97	99,47	99,86	100,21

Числовые характеристики по А.Н.Заварыкину

a	b	c	d	e	f	g	h	i
13,60	13,60	2,70	5,50	3,20	3,70	1,40	1,60	3,00
7,70	6,50	5,50	3,20	3,70	1,40	1,60	1,60	2,70
7,70	6,50	3,20	3,70	1,40	1,40	1,40	1,40	1,40
70,10	79,20	75,60	76,80	78,00	74,80	77,70	74,50	
5,00	1,60	4,60	3,40	7,00	9,50	3,00	6,20	
10,30	15,50	18,60	14,10	23,40	17,80	21,80	12,00	
-	-	-	20,00	-	25,60	-	17,70	

Продолжение табл.9

Таблица 10

Компо-ненты	Минералы								Номера проб	
	1	2	3	4	5	6	7	8	1	2
c'	26,1	1,90	-	1,90	-	14,00	-	5,70		
m'	27,5	37,00	31,80	43,30	24,20	47,30	37,5	42,20		
r'	46,2	61,10	40,10	56,50	36,60	56,00	36,70	62,50		
n	71,1	63,60	53,70	57,70	52,10	66,00	52,70	54,80		
φ	15,5	20,40	17,70	13,10	11,20	19,00	1,70	27,30		
t	4,5	1,00	0,40	2,50	0,20	0,50	0,90	0,90		

Примечание. 1 - среднезернистый биотитовый сенит, правобережье р.Улюч; 2 - среднезернистый биотитовый сенит, правобережье р.Онукткан; 3 - биотитовый порфировидный гранит, левобережье р.Улучкакан; 4 - биотитовый порфировидный гранит, правобережье р.Турукчакан; 5 - лейкократовый гранит, правоберег; 6 - среднезернистый биотитовый гранит, бассейн р.Ботун-Ча-Улучкакан; 7 - крупнозернистый, биотитовый, порфировидный гранит, левобережье р.Улюч; 8 - среднезернистый, порфировидный гранит, бассейн р.Ботунда.

Химические анализы и данные пересчетов их по методу А.Н.Заваринского (см.табл.8) показывают, что гранитоиды I фазы относятся к классу пород, пересыщенных кремнистистой и группе, умеренно богатой шелочами.

Результаты акцессорного анализа приведены в табл.10.

Как видно из таблицы, для гранитоидов I фазы витимского комплекса характерна апатит-сфен-магнетитовая ассоциация минералов.

Спектральным анализом в 30 скважинных пробах установлено, что эти гранитоиды содержат (в %) никель - 0,001-0,003, хром - 0,002-0,007, медь - 0,002-0,01, свинец - 0,002-0,007, цинк - 0,06-0,03, бериллий - 0,0001-0,0007, иттрий - 0,001-0,003%.

Возраст гранитоидов I фазы витимского комплекса устанавливается на основании того, что в смежных районах они прорывают гранитоиды II фазы баргузинского комплекса (Булгатов, 1960) и фаунистически оконтуренные отложения нижнего кембрия (Ю.М.Янов, 1964 г.).

№	Минералы	Номера проб	
		1	2
1	Магнетит	30,4	51,2
2	Сфен	20,01	34,35
3	Апатит	1,01	4,21
4	Циркон	0,8	38,
5	Пирит	0,01	38,
6	Ильменит	Рз.	-
7	Флюорит	Зн.	-
8	Монацит	Рз.	-
9	Орбит	0,13	-
10	Молибденит	Зн.	-
Вес пробы в кг		3,5	4,5

II фаза. Средне- и мелкозернистые, лейкократовые, биотитовые граниты представлены тремя крупными и рядом мелких массивов.

Первые два массива расположены вдоль юго-восточного борта Заргузинской впадины. Протяженность их около 30 км, ширина 10-15 км. Третий массив площадью около 90 км² находится в верховье рек Лев.Алган и Ари-Алган. Вмещающими породами являются гранитоиды баргузинского комплекса, метаморфические породы сувандинской залежи и основные породы аткарского комплекса. Сложены они среднекрупнозернистыми, лейкократовыми гранитами.

Лев.ократовы граниты ($\text{I}_2\text{Pz}_1\text{v}$) характеризуются мягким, средне- и крупнозернистым сложением, розовато-серым, светло-серым окраской и массивной текстурой. Структура их гранитная, гранулитовая, гликохромнозернистая. Минеральный состав их следующий (в %): каменистый полевой шпат - 35-50, кварц - 25-30, плагиоклаз - 5-15, биотит - 2-5. Вторичные минералы представлены хлоритом, пелитом, эпилитом, кальцитом. Аксессорные - сфен, апатит, орбит, рутил минерал.

Содержание акцессорных минералов приведено в табл. II, из которой видно, что устойчивой их ассоциацией являются магнетит-сфен - апатит.

Таблица II

№/π	Минералы	Номера проб и вес, т					
		1	2	3	4	5	6
1	Магнетит	5,03	9,67	17,68	58,59	56,5	1,5
2	Сфен	3н.	0,06	1,61	12,85	5,41	0,19
3	Апатит	-	3н.	0,01	2,48	5,7	0,01
4	Циркон	3н.	0,1	3н.	-	3н.	0,03
5	Ильменит	0,61	0,39	-	-	-	0,31
6	Пирит	Рз.	-	3н.	0,01	-	-
7	Радиоактив- ный циркон	0,06	-	-	-	-	0,01
8	Орцит	-	-	Рз.	Рз.	Рз.	-
9	Рутил	3н.	-	-	-	3н.	3н.
10	Тантало- ниобиевые	0,02	-	-	-	Рз.	Рз.
11	Флюорит	-	0,11	3н.	3н.	Рз.	-
12	Молибденит	-	3н.	-	-	-	-
13	Торит	-	Рз.	-	Рз.	-	Рз.
14	Лейбоксен	0,16	-	-	-	Рз.	-
15	Гранат	Рз.	-	-	-	-	-
16	Эпидот	Рз.	-	-	-	-	-
17	Монацит	3н.	-	3н.	-	Рз.	-
18	Шеелит	-	-	Рз.	-	-	-
Вес пробы, кг		1,363	1,531	4,950	4,700	9,05	0,249

Примечание: 1 - аляскитовый гранит, правобережье р.Арытана; 2 - аляскитовый гранит, верховье р.Шолококана; 3 - аляскитовый гранит, верховье р.Асын; 4 - биотитовый гранит, верховье

р. Шовоккана; 5 - лёгкократовый гранит, правобережье р.Неручан; 6 - лёгкократовый гранит, правобережье р.Сую.

Химический состав и пересчет по методу А.Н.Заваридского показывает, что они относятся к классу пород, пересыщенных кремнекомплексом и группе пород, богатых щелочами и занимают промежуточное положение между средними составами гранитов и амфосилитовых гранитов (табл. I2).

Спектральным анализом в 120 сколковых пробах установлены

(в %): хром - 0,001-0,002, никель - 0,001-0,006, кобальт - 0,001-0,006, медь - 0,001-0,007, свинец - 0,002-0,004, олово - 0,001-0,003, бериллий - 0,0004-0,001, иттербий - 0,0002-0,002, иттрий - 0,0001-0,001, литий - 0,001-0,01.

Возраст гранитов II фазы устанавливается на основании того, что они прорывают гранитоиды баргузинского комплекса (бассейн р.Сую, водораздел рек Дылкоти - Яссы), атарханского комплекса (верховья р.Шолококана), I фазы витиманского комплекса (водораздел рек Богунда - Нерутан) и породы мэлдэлтэнской свиты нижнекембрийского возраста (водораздел рек Акули - Асына).

Изотопный возраст гранитов (образец с водораздела рек Заргаланта - Улан-Бурга), определенный калий-аргоновым методом по биотиту в лаборатории БГУ, равен 283 млн. лет.

Ф. а. з. а. Мелкозернистые лёгкократовые биотитовые граниты слагают два крупных массива и мелкие штокообразные тела. В верховье р.Илы расположен массив длиной 24 км и шириной - 5-8 км. Ориентирован в северо-восточном направлении. Сложен гранитами, характеризующимися мелкозернистой структурой и лёгкократовым составом. Цвет их серый, светло-серый, розовато-серый. Вмещающими породами являются гранитоиды баргузинского комплекса, породы мэлдэлтэнской свиты.

Второй массив расположен на водоразделе рек Турукчи-Асына-Укиккана. Протяженность его 12 км, ширина - 5 км, имеет овальную форму и широтную ориентировку. Граниты, слагающие массив, характеризуются желтовато-серым цветом и мелкозернистым строением. Мелкие массивы, площадью до 5 км², расположены на водоразделах рек Амбуя - Уро и Акули - Шолококана. Все вышеуказанные массивы гранитов контролируются разломами северо-восточного и субширотного направлений.

Структура их гипидроморфно-зернистая, гранитная, реже порфировая с альтитоморфно-вернистой структурой основной массы, текстура массивная. Минеральный состав их следующий (в %): калиевый полевой шпат - 40-65, кварц - 25-30, плаулюз № 20-25 - 10-30,

Таблица 12

Компо- ненты	I	2	3	4	5	6	7	8	9
SiO ₂	70,56	72,82	72,86	73,08	73,32	75,22	75,74	76,70	76,95
Al ₂ O ₃	13,38	12,97	14,76	15,06	14,61	12,64	13,09	12,36	11,95
TiO ₂	0,31	0,50	0,20	0,15	0,22	0,16	0,15	0,14	0,05
Fe ₂ O ₃	5,06	1,36	0,55	1,11	0,88	0,63	0,42	0,56	0,22
Рео	0,91	1,06	0,58	0,32	0,79	0,73	0,77	0,69	0,66
MnO	0,04	0,20	0,02	0,01	0,05	0,03	0,04	0,04	—
MgO	1,05	0,33	0,85	0,27	0,97	0,69	0,53	0,36	0,52
CaO	1,18	1,43	1,73	0,35	1,23	0,95	1,46	0,59	0,51
K ₂ O	4,40	4,50	4,0	4,0	4,40	4,50	4,50	4,21	2
Na ₂ O	3,40	3,50	3,85	4,65	4,0	3,60	3,40	3,80	3,65
P ₂ O ₅	0,06	0,09	0,06	H.O.	0,04	0,04	0,01	0,04	0,04
SО ₃	0,13	—	H.O.	H.O.	0,39	—	0,01	0,33	4
П.п.п.	0,53	0,80	0,60	0,39	0,49	0,04	0,30	0,31	Ильменит
Σ	101,01	99,56	100,15	99,39	100,47	99,52	100,15	99,89	Пирит
Чистые характеристики по А.Н.Заварикову									
a	13,4	13,9	13,7	15,8	13,9	13,3	10,5	13,9	13,5
b	7,7	2,9	2,0	1,6	5,5	2,6	7,8	2,1	2,1
c	1,4	1,5	3,8	0,4	1,9	1,10	0,5	0,7	0,6
s	77,5	81,7	80,0	82,2	78,7	82,5	81,2	83,3	83,8
a:c	9,7	—	2,4	40,0	7,3	12,4	27,0	—	22,9
q	26,7	33,7	6,6	32,4	27,7	36,2	41,0	—	39,5
a'	13,8	—	—	—	34,5	12,5	47,3	21,9	30,3
c'	—	4,5	42,0	—	—	—	—	—	—
m'	22,2	15,9	25,5	25,0	27,6	42,5	47,3	25,0	36,4
r'	64,1	79,5	32,5	75,0	37,9	45,0	5,4	53,1	33,3
n	53,9	53,8	77,9	64,1	60,7	55,2	51,7	57,0	57,2
ρ	53,8	38,8	13,9	58,3	13,8	20,0	4,9	21,9	6,1
t	0,3	0,5	1,5	0,2	0,2	0,6	0,2	0,2	0,1

Примечание. I - среднезернистый лейкократовый гранит, левобережье р.Нерчин; 2 - крупнозернистые лейкократовые граниты, верховье р.Шолокинан; 3 - куб-зернистый, лейкократовый гранит, правобережье р.Ари-Алган; 4 - среднезернистый лейкократовый гранит, правоберегье р.Суро; 5 - мелкозернистый лейкократовый гранит, левоберегье р.Грав. Бадон; 6 - среднезернистый амбикитовый гранит, верховье р.Шолокинан; 7 - среднезернистый амбикитовый гранит, правоберегье р.Лев. Алтан; 8 - среднезернистый амбикитовый гранит, левоберегье р.Лев. Алтан;

Биотит - 2-10; эпиломатические минералы представлены пакитом, се-
дибитом, хорнитом, альбитом, мусcovитом. Аксессорные - апатит, оффен-

диркон, магнетит.

Содержание аксессорных минералов приведены в табл.13.

Таблица 13

Минералы	I	2	3	4
Магнетит	4,39	41,27	22,02	12,30
Сфен	3Н.	0,14	1,52	0,10
Апатит	0,03	2,85	0,43	2,07
Циркон	3Н.	3Н.	3Н.	0,05
Ильменит	0,25	—	3Н.	0,07
Пирит	—	1,31	0,01	3Н.
Радиоактив- ный циркон	7	—	—	3Н.
Ортит	—	—	—	3Н.
Тантало-ни- обийный ми- нерал	9	—	—	3Н.
Флюорит	10	—	—	3Н.
Молибденит	II	—	—	3Н.
Гранат	II	—	—	—
Эпидот	III	—	—	3Н.
Монацит	0,01	—	—	0,20
Ксенотим	Рз.	—	—	0,17
Вес проб, кг	1,244	0,970	5,900	4,000

Примечание. I - гранит, левобережье р.Шолокинан; 2 - гра-
нит, правобережье р.Ини; 3 - гранит, вслораздел рек Турокчи-Асна,
4 - гранит, бассейн р.Ари-Алган.

Как видно из таблицы, устойчивой ассоциацией является мат-
тил-апатит-сфен-флюорит.

Химический состав и их пересчет по методу А.Н.Заварикого
зказывает, что граниты относятся к классу пород, пересыщенных крем-

некислотой и группе пород, богатых щелочами (табл. 14). При сопоставлении их со средними составами (по Р.Дюти) данные граниты занимают среднее положение между средними составами гранитов и альскитовых гранитов.

Таблица 14

Компо-ненты	1	2	3	4	5	6	
SiO ₂	72,22	73,56	73,60	75,0	75,60	71,78	
Al ₂ O ₃	I4,II	I4,I9	I2,5I	I3,44	II,97	I4,76	
TiO ₂	0,65	0,29	0,50	0,17	0,26	0,30	
Fe ₂ O ₃	0,52	I,0I	I,62	0,69	0,80	0,74	
FeO	I,33	0,98	0,98	0,44	0,95	I,02	
MnO	0,04	0,04	0,20	0,04	0,21	0,05	
MgO	I,0	0,73	0,30	0,40	-	0,57	
CaO	I,72	I,53	0,80	I,53	I,23	I,62	
K ₂ O	3,90	4,40	5,00	3,80	4,70	3,85	
Na ₂ O	3,90	3,55	3,70	4,0	3,50	4,5	
R ₂ O ₅	0,II	0,0I	0,04	0,02	0,04	0,06	
SO ₃	H.O.	H.O.	-	-	-	H.O.	
П.Г.П.	0,38	0,23	0,2I	0,46	0,20	0,4I	
Σ	99,97	I00,45	99,46	99,79	99,48	-	

Числовые характеристики по А.Н.Заварикову

a	I3,8	I2,3	I4,9	I3,9	I3,9	
b	3,8	I3,1	3,2	2,0	2,4	3,3
c	2,0	0,9	0,7	I,5	0,7	2,0
s	80,4	73,7	81,2	82,6	83,0	79,5
a:c	6,9	I4,3	22,6	9,I	I9,0	7,6
Q	3I,2	2I,9	32,0	36,0	37,4	26,6
a'	I4,0	7,2	-	20,0	-	9,8
c'	-	-	8,3	-	27,8	-

Продолжение табл. 14

Компо-ненты	1	2	3	4	5	6
	c'	-	-	8,3	-	27,8
	m'	43,9	81,6	14,6	33,3	-
	f'	42,I	II,6	77,I	46,7	72,2
	n	60,6	64,8	53,I	61,9	52,8
	φ	II,5	5,4	0,4	36,7	27,8
	t	0,7	2,I	0,5	0,2	0,3

Примечание. 1 - мелкозернистый, лейкократовый гранит, правобережье р.Ушакан; 2 - мелкозернистый, лейкократовый гранит. Дорадел рек Турукча - Асия; 3 - мелкозернистый, лейкократовый гранит. Правобережье р.Ини; 4 - мелкозернистый, лейкократовый гранит. Левобережье р.Шолококан; 5 - мелкозернистый, лейкократический гранит. Правобережье р.Ини; 6 - мелкозернистый, лейкократовый гранит. Устьязанская часть р.Ари-Атган.

Спектральный анализом в 20 скользовых проках установлено следующие элементы (в %): никель - 0,001-0,002, кобальт - 0,001-0,006, молибден - 0,001-0,003, медь - 0,001-0,003, свинец - 0,006-0,01, олово - 0,001-0,006, ниобий - 0,003-0,005, цирконий - 0,001-0,003, бериллий - 0,0001-0,0003, иттербий - 0,0001, иттрий - 0,002, лантан - 0,002-0,01.

Возрастное положение установлено на основании того, что они формируют граниты II фазы витимканского комплекса (бассейн р.Уралметаморфические породы малдзеленской свиты (верховье р.Ини и бассейн р.Шолококан).

Изотопный возраст гранитов III фазы (образец из верховья реки Бакуя), определенный калий-аргоновым методом по биотиту в лаборатории БГУ, равен 221 млн. лет.

Контактовые воздействия гранитоидов витимканского комплекса изменили породы выражены в скарнировании и ороговитовании. Зоны ороговитованных пород дестигают ширину от первых десятков метров до 400-500 м и простягиваются почти беспрерывно вдоль концов. По данным аэрофотографических работ (А.Л.Шильков, 1965 г.; К.Луков и др., 1966), гранитоиды витимканского комплекса имеют

наиболее высокую радиоактивность. По физическим полем они разделяются на две разновидности: граниты с высоким положительным магнитным полем (+1500–1800 гамм) и более низким радиоактивным полем (8–10 мкр/час) отвечают I фазе, а граниты с пониженным магнитным полем (до +600 гамм) и высоким радиоактивным полем (10–12 мкр/час) – II фазе.

Д а й к о в и е и ж и л ь н и е о с р а з о в а – и я представлена диоритовыми порфиритами, мелкозернистыми гранитами, пегматитами и аplitами. Возраст их определен условно на основании пространственной приуроченности к гранитоидам витим-канского комплекса.

Д и о р и т о з и е п о р ф и р и т и ($\delta_{\mu} \text{Р}_{\text{d}} \text{и}_{\text{r}} \text{i}_{\text{t}}$) имеют северо-восточное простирание 40–60°. Мощности их изменяются от 3 до 7 м. По простиранию протягиваются на протяжении 30–50 м и в отдельных случаях до 100 м. Макроскопически имеют темно-серую окраску, структура их порфировая с призматической зернистой и типпиломорфозернистой структурой основной массы. Породообразующими минералами являются андезин (50–70%), пироксен (25–30%), роговая обманка (5–15%), кварц (1–3%). Вторичные минералы представлены хлоритом, альбитом, серпентитом, биотитом, кальцитом; акцессорные – апатитом, сфеном, рудными минералами.

А п л и т и ($\epsilon_{\beta} \text{Р}_{\text{d}} \text{i}_{\text{t}}$), м е л к о з е р н и с т и е т р а н и т и ($\text{I}_{\beta} \text{Р}_{\text{d}} \text{i}_{\text{t}}$) отмечаются весьма редко. Простирание их северо-восточное 40–60°. Мощность от 0,2–0,4 до 1–2 м. По простиранию прослеживаются до нескольких десятков метров. Характеризуются серой, светло-серой окраской и масляной текстурой и аplitовой структурой. Породообразующими минералами являются микроклин (40–55%), кварц (30–35%), плагиоклас (альбит–олигоклаз, олигоклаз 20–25%). Вторичные минералы представлены серпентитом, пегматитом, мусковитом. Аксессорные – рудными минералами.

П е г м а т и ($\rho_{\beta} \text{Р}_{\text{d}} \text{i}_{\text{t}}$) отмечаются в виде отдельных жил, прожилков и широких выделений. Они имеют мощность до 3–5 м. по простиранию прослеживаются на протяжении 10–20, реже 50–100 м. Ориентировка их различная: северо-западная (300–340°), северо-восточная (до 50°) и субширотная.

Минеральный состав (%): кварц – 25–30, микроклин – 50–60, плагиоклаз – 5–10, биотит – до 5. Вторичные минералы представлены, орбитом, альбитом, мусковитом; акцессорные – пироксены, орбитом, апатитом.

Физические свойства пород

Рассмотрение физических свойств^{X/} пород показали, что по плотности они отличаются в очень не-

значительных пределах. Средняя плотность большинства пород равна составляет 2,55–2,67 г/см³, за исключением пород – атарханско-го комплекса, плотность которых составляет 2,93 г/см³. Плотность город в основном определяется литологическим составом и в меньшей мере зависит от их возраста. В интрузивных породах, относящих к баргузинскому комплексу, наблюдается слабо выраженная тенденция к незначительному увеличению плотности от более молодых гранитов к древним. Гранитоиды III фазы имеют среднюю плотность 2,55 г/см³, гранитоиды I фазы – 2,67 г/см³. Возможно, это объясняется просто составом гранитоидов, как гранитоиды I фазы гранитового ряда, а III фазы – гранитного. Слабая дифференциация город по плотности подтверждается изменениями в незначительных пределах гравитационным полем. Физические свойства метаморфических и изверженных пород района охарактеризованы в таблице 15.

Таблица 15

#/п	Свиты и комплексы	Количество определений	σ (10^{-6} CGSM)	σ (г/см ³)
1	2	3	4	5
1	Сувандинская	35	640	2,63
2	Тилимская	30	521	2,66
3	Майдзеленская свита	12	574	2,64
4	Баргузинский комплекс I фаза	74	801	2,67
	II фаза			
5	Атарханский комплекс	II	207	2,93

^{X/} Определения проведены лабораторией физических свойств горных пород ВСЕГЕИ под руководством И.Ф.Зуевой

I	2	3	4	5
6	Витимканский комплекс	23	1080	2,63
	I фаза			
	II фаза	106	426	2,57
	III фаза	28	600	2,62

ТЕКОНИКА

На существующих тектонических схемах описываемая территория расположена в пределах зоны калеонской (Павловский, 1948, 1956; Иванов, 1948 г.) или байкальской складчатости (Н.А.Флоренсов, 1954; Шатский, 1956; Салот 1959, 1962). Нами за основу принята схема Е.В.Павловского.

В пределах исследуемого района выделяются структуры поздне-протерозойского, раннепалеозойского и мезо-кайнозойского возраста (рис. I).

Позднепротерозойские структуры

Позднепротерозойский этап геосинклинального развития характеризуется накоплением мощной толщи (4800 м) песчанистых и глисто-песчанистых осадков. Со временем седиментация терригенных осадков сменяется накоплением карбонатов, которые отвечают началу формирования пород тундровской свиты (3800 м). Ограничение пространение осадочно-метаморфических образований не позволяет получить полное представление о складчатых структурах. Однако, при тщательном анализе структур разрозненных участков установлены общие закономерности. Складчатые структуры имеют линейный характер и вытянуты в северо-восточном направлении. На площади выделяются две крупные антиклинальные складки, разделенные синклиналью структурой. Эти крупные структуры, отнесенные нами к структурам первого порядка, осложнены разрывными нарушениями и складками более высоких порядков.

Б О Т У Н Д И Н С К А Я а н т и к l и н а л ь расположена в междуречье Улан-Бури и Туручи. Видимая широта антиклинали составляет 25–27 км, протяженность более 70 км. Ось ее в целом имеет северо-восточное простирание, которое в бассейне устья

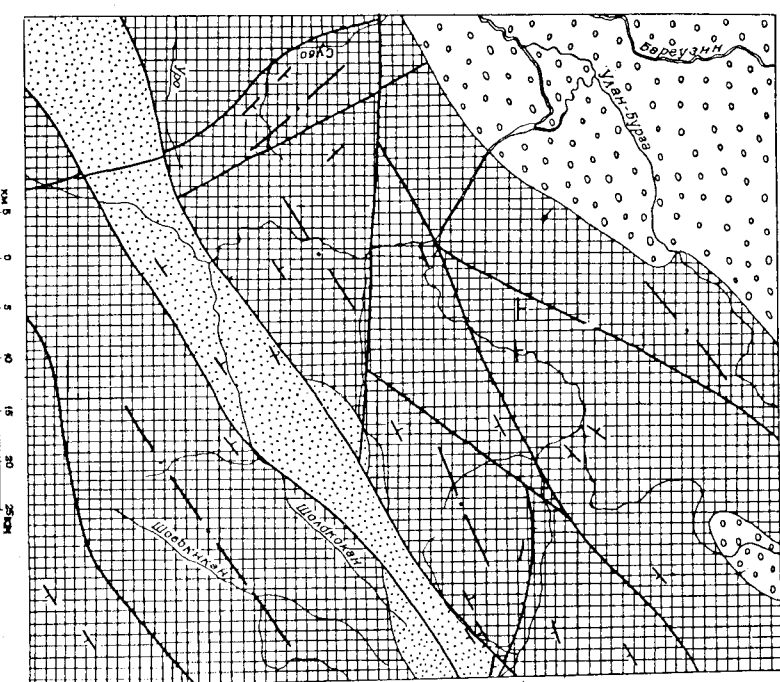


Рис. I. Тектоническая схема

1 — мезо-кайнозойские структуры (Баргузинская и Богуундинская залежи); 2 — раннепалеозойские структуры (грабен-синклиналь); 3 — позднепротерозойские структуры (Богуундинская, Шолокханская антиклинали); Кунгурская синклиналь; 4 — зоны разрывных нарушений; 5 — границы структур, 6 — оси складок; 7 — элементы залегания пород

р. Турукчи принимает субширотное направление. Ядро антиклинали уничтожено гранитоидами баргузинского и витиманского комплексов. Северо-западное крыло скрыто под кайнозойскими отложениями Баргузинской впадины. Метаморфические породы, слагающие северо-западное крыло антиклинали, вскрываются сиражной в районе пос. Могойто, на глубине 1400 м (Конева, 1955). Наиболее полно представлено юго-восточное крыло Богучанской антиклинали, в междуречье Богуды и Турукчи. Сложено оно сланцами и гнейсами верхней подсвиты суванихинской свиты и объединяет собой систему асимметричных складок северо-восточного простирания с углами падения порядка 35–60°. Эти складки также осложнены многочисленными продольными и поперечными разрывами, притом наиболее крупный разрыв отделяет от них Кунгурскую синклиналь.

Кунтулакская синклиналь расположена на водоразделе рек Большого и Малого Кунтулаков. Турукчи сливается на водоразделе рек Большого и Малого Кунтулаков, Турукчи и Асына. В строении ее участвуют карбонатные породы титимской свиты и гранитоиды баргузинского комплекса. Северо-западным ограничением синклинали служит Ушканянский разлом, а юго-восточным – Урино-Асынинская система разломов. Ширина синклинали достигает до 15 км. Ядро ее сложено белыми кристаллическими известняками, а крылья – серыми и светло-серыми доломитами, переклаивающимися со сланцами и кварцитами. Ось синклинали имеет северо-восточное простирание и лишь в бассейне рек Такти и Судо резко меняет свое направление на северо-западное. Падение пород 50–70° на северо-запад и юго-восток и соответственно в бассейне рек Судо и Такти на юго-запад и северо-восток.

В пределах Кунгурской синклинали отмечается относительно мелкие складки второго порядка с довольно крутыми углами падения – 45–80°. Одну из таких антиклинальных складок можно проследить, начиная от устья р. Ушиканы вдоль бассейна р. Турукчи до устья р. Асына. Сложена она серыми доломитами и доломитизированными известняками с горизонтами графитовых сланцев и кварцитов. Ширина складки достигает 2–3 км. Ось ее имеет субширотное направление. В бассейне рек Турукчакана и Асына намечается замыкание этой структуры. В осевой части Кунгурской синклинали, на водоразделе рек Ушиканы и Асына, расположена мульдообразная структура, имеющая в плане форму эллипса, вытянутого в северо-восточном направлении. Протяженность ее около 26 км, ширина 10–12 км. Юго-западная часть этой мульдообразной структуры проходит в открытые линейные складки антиклинального и синклинального типа.

Могойто, на глубине 1400 м (Конева, 1955). Наиболее полно представлено юго-восточное крыло Богучанской антиклинали, в междуречье Богуды и Турукчи. Сложено оно сланцами и гнейсами верхней подсвиты суванихинской свиты и объединяет собой систему асимметричных складок, притом наиболее крупный разрыв отделяет от них Кунгурскую синклиналь.

Кунтулакская синклиналь расположена на водоразделе рек Шолококана, Шовокикана, Ари-Аганы и Йыжиканта. Ширина Шолококанской антиклинали 25–30 км, протяженность 55–60 км. Ось ее имеет северо-восточное направление и совпадает с осью Верхне-Витимского антиклинария, выделенного А.Н. Булгатовым.

Реконструкция этой антиклинали произведена по отдельным разобщенным ксенолитам метаморфических пород, расположенным в поле баргузинских гранитов. Судя по замерам, метаморфические породы смты в складки второго порядка с довольно крутым (45–70°) углом падения. Ядра мелких антиклинальных и синклинальных складок, сохранившихся в отдельных ксенолитах, свидетельствуют, что это были прямые открытия складки, местами осложненные разрывами. Одна из них наблюдается в бассейне р. Догольдина. Сложена она блоками и блок-ротовоблоками сланцами и гнейсами. Ось ее ориентирована на северо-восток. Ширина крыльев складки до 2 км. Породы имеют довольно крутые (55–60°) углы падения на северо-запад и юго-восток. В бассейне р. Кильдимата расположена симметричная синклинальная складка, ядро которой сложено блоковыми сланцами, а крылья – инъекционными гнейсами и ротовиками. Ширина ядра 5–6 км. Направление оси субширотное. Падение пород на крыльях 70–75° на северо-запад и юго-восток.

В заключительный этап позднепротерозойской складчатости произошло внедрение гранитоидов баргузинского комплекса. Гранитоиды в большей своей части имеют гнейсовидную текстуру, сопровождающую кристаллизационной сланцеватостью сланцев и гнейсов зеркней подсвиты суванихинской свиты. Контакты метаморфических и интрузивных пород в большинстве случаев также согласные. Все эти факты позволяют отнести их к синорогенным согласным интрузиям.

Раннепалеозойские структуры

К началу развития раннепалеозойского геосинклинального этапа позднепротерозойские складчатые сооружения испытывали воздействие с сохранением общего структурного плана. В результате этого была архидорвана метаморфическая толща верхнего протерозоя и вскрыты интрузивные тела гранитов баргузинского комплекса (на водоразделе рек Асына – Догольдимы континентальной магматической свиты залегают непосредственно на гранитах). В это же время произошло заложение глубинных разломов (Ушканянская и Асно-Урин –

ская системы разломов), которые предопределили образование наложенной трабен-синклинальной структуры. На первых этапах отложения грабен-синклиналь присоединил накопление грубообломочных осадков, которые затем, при дальнейшем отложении, сменились мелкозернистыми отложениями — песчаниками и сланцами. Карбонатные породы присутствуют в виде отдельных горизонтов и характеризуются невыдержанной мощностью. В целом нижнекембрийские отложения имеют северо-восточное простирание с углами падения пород на крыльях 50–60°. В бассейне р. Асына наблюдается северо-западное крыло, сложенное гранитомергитами, песчаниками и сланцами, а в бассейне р. Ины юго-восточное — преимущественно сланцами. Протяженность трабен-синклинали более 40 км, при ширине 10–12 км. Ось ее ориентирована на северо-восток (50–60°) с возрастанием тангенса на северо-восток. Трабен-синклиналь осложнена складками более высокого порядка, размеры которых колеблются от нескольких метров до 1 км. Прости-
рание их овпадает с направлением главной структуры.

В завершающую фазу раннекембрийского тектогенеза внедри-
лись интрузии атарханско-и витимянского комплексов. В резуль-
тате этого было вызвано оживление ранее заложенных разломов и
неравномерное поднятие отдельных блоков (Гусев, 1966).

Мезо-кайнозойские структуры

В период мезозойского времени исследуемый район представлял собой консолидированную, глубоко погруженную область. По мнению Н.А.Флоренсова, на этой территории был длительный период от-
носительного покоя, отвечающий по времени Верхнему мелу — палеоге-
ну (Флоренсов, 1960). Более отчетливо история геологического раз-
вития вырисовывается с неогена. С возобновлением тектонической
деятельности связывается образование впадин сальвильского типа, в
том числе и Баргузинской впадины. По данным Шаронова (1954), в
позднеогеновое время происходит интенсивное прогибание впадин и
одновременное воздвижение Баргузинского и Икатского хребтов. Осад-
кообразование происходило в озерных водоемах. В четвертичное вре-
мя происходит дальнейшее прогибание впадин и накопление песча-
нистых отложений.

Баргузинская впадина выражена в рельефе как межгорное обра-
зование, вынуттое с юго-запада на северо-восток. В пределах пло-
щади листа протяженность впадины 45 км, ширина 30 км. По данным
Н.А.Флоренсова, строение фундамента впадины очень простое. Он ука-
зывает за собой увеличение мощностей осадочных отложений. Далее

извест на общий планый изгиб кристаллического фундамента от Икатского хребта, осложненного на отдельных, как правило, корот-
ких отрезках небольшими разрывами. Ложе впадины имеет асимметрич-
ный поперечный профиль: от Баргузинского хребта к центру впадины
оно погружается значительно круче, нежели с противоположной сто-
роны. Поэтому ось протяга и зона максимальных мощностей отложе-
ний, выполняющих впадину, смешены в сторону Баргузинского хребта.
По данному гравиметрической и магнитометрической съемки, Баргузин-
ская впадина характеризуется значительными возмущениями грави-
метрического поля при общем северо-восточном простирании изолиний
и аномальных зон, состоящих из отдельных максимумов и минимумов,
пересекающихся между собой (Шаронов, 1954). Значение гравитацион-
ных аномалий меняется от 92 мгэ на юго-западе до 154 мгэ на се-
веро-востоке.

Бортовые зоны впадины, особенно участки, прилегающие к
северо-западному борту, характеризуются значительными градиента-
ми силы тяжести, достигающими до 8 мгэ/км. Так, в Джидаконском
трапициональном минимуме значение га в центре достигает 132 мгэ.
После короткого перехода, которому соответствует Суйгинская анти-
клинальная структура, значение га снова возрастает до 154 мгэ.
В Улан-Бургинской синклинальной структуре значение га соответ-
ствует 132 мгэ (Блюменрайт, 1960).

Ниже приводится краткое описание второстепенных структур, выделенных, по данным геофизических работ, в пределах Баргузин-
ской впадины.

А л т и н с к а я м у л ь д о о с р а з н а я с т р у к-
т у р а находится в районе с.Алта и сопряжена с Суйгинским подни-
жем. Ось ее полого вздымается на юго-восток от с.Алты и совер-
шенно полого переходит в склон поднятия, угол наклона пластов в
пределах 5–10°. Сузинское поднятие прослеживается в северо-западном направлении. В центре его ближе
к с.Сую выходит гранитоиды баргузинского комплекса. В северо-за-
падном направлении эти гранитоиды с постепенным погружением уко-
жат под среднечетвертичные отложения. Углы падения отложений
5–8°. Ось сугинского поднятия, по данным геофизики, прослежи-
вается на 6–8 км в северо-западном направлении и к юго-западу
от урочища Онкули погружается более быстро. Б о л с н с к а я
м у л ь д о о с р а з н а я с т р у к т у р а. Ось ее имеет
северо-восточное простирание. В начале идет полого (до 6°) по-
гружение оси, в правом борту р.Ины становится более резким, что
лечет за собой увеличение мощностей осадочных отложений. Далее

на северо-восток отмечается плавное вознинание и уменьшение мощности осадочной толщи на продолжении болонской мульдообразной структуры расположена я. Болонская впадина. Кардигское поднятие находится в районе горы Кордига. Ось его полого погружается в северо-восточном направлении от с. Болон. В центре выходят гранитоиды витимганского комплекса и среднечетвертичные галечники, на продолжении осевой линии среди кайнозойских отложений также отмечены изолированные выходы гранитоидов. Края поднятия сложены гранитоидами, которые гипсометрически ниже перекрываются четвертичными и неотектоническими осадками, приподнятыми над осевой зоной болонской мульды на 30–50 м.

Разрывные нарушения

Разрывные нарушения контролируют размещение интрузивных тел и металлогенетического района. По геологическим и геофизическим данным (гравиметрия и магнитометрия), выделяются три основных направления разрывных нарушений: субширотное, северо-восточное и северо-западное. Наиболее четко фиксируются геологическими наблюдениями и в геофизических полях разрывные нарушения субширотного и северо-восточного направлений (рис. 2).

Ужимский разлом четко прослеживается в субширотном направлении на 45 км, начиная от юго-восточного борта Баргузинской впадины через верховье рек Карамнина и Бодона и вплоть обоих бортов рек Ушмана и Акули. По существу его нужно рассматривать как сильно измененную зону. На всем протяжении он хорошо выражен в рельфе, особенно его восточная половина в бортах долины р. Акули, где борта долины очень круtte, почти отвесные. Образовавшиеся в зоне разлома миллинистизированные катаклизированнные породы, зеркала скольжения, большое количество лайковых и жильных образований говорят о его древнем заложении, относящемся, по-видимому, к концу докембрия и началу кембрия. Ширина зоны достигает 2 км и более. **Ужинский разлом** северо-восточного направления прослеживается от верховья реки Карамнина через устье р. Гурокчи до верховья р. Богунды. Протяженность его около 60 км. Он хорошо подчеркивается магнитометрическими работами и по нему интенсивно проявлялись гидротермальные процессы, субфризная и полиметатическая минерализация. Разлом сопровождается серияй даековых и жильных образований. **Уринский** сибирско-растительный разлом северо-восточного направления прослеживается на расстоянии 80 км. Продол-

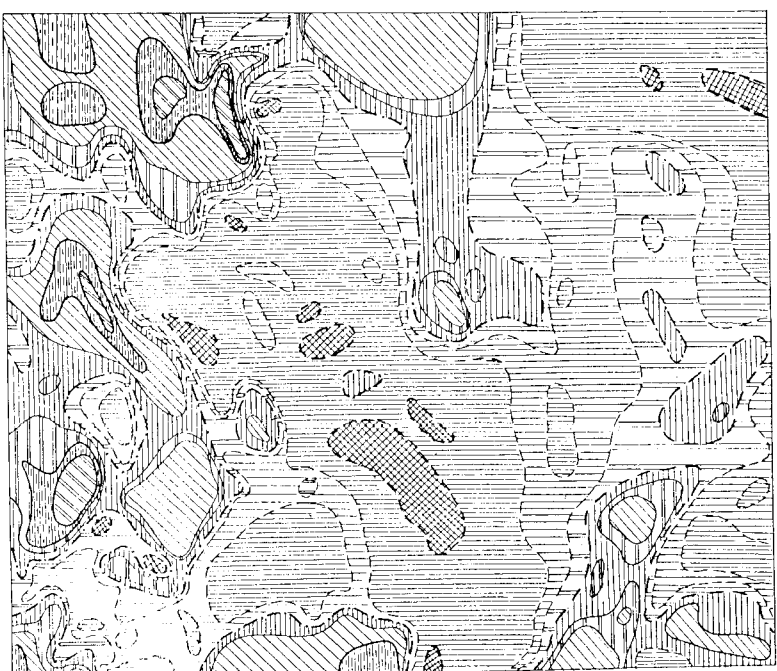


Рис. 2. Схема магнитного поля
(составлена В. В. Сусленниковым, 1958)

Интенсивность магнитного поля в гаммах. Положительные значения
для: 1 – 0-100; 2 – 100-200; 3 – 200-500; 4 – 500-1000; 5 – свыше 1000. Отрицательные значения: 6 – 0-100; 7 – 100-200;
8 – 200-500; 9 – ниже 500

жение ее описано на соседних площадях как на юго-западе, так и на северо-востоке. Отдельные разломы этой системы четко выражены в рельфе. Особенно хорошо выражены эрозионно-тектонический уступ на водоразделе рек Акули и Дотольдина. В целом к Урло-Асынской системе принадлежат серии длибентивных нарушений шириной до 6–7 км. Выделяются участки с наибольшей интенсивностью, к которым приурочены гидротермальные процессы и термальные источники. Вдоль этой же системы разломов расположены и тектонические блоки, сложенные отложениями нижнего кембрия.

Ари-Алтанская система разломов отчетливо прослеживается вдоль левого борта р.Ари-Алтана в субширотном направлении. В районе Лев-Алтана субширотное простирание резко меняется на северо-восточное. Разломы сопровождаются интенсивной трещиноватостью, рассланцеванием и мионитизацией. В отдельных местах вскрытые канавами плоскости сместителей разломов круты – до 60–80°. Мощность зон катахазированных пород колеблется от 10 до 50 м. Протяженность по нескольких километров. Вторичные изменения в пределах зон выразились в грейзенизации, аммонитизации, окварцевании и эпидотизации пород.

Разрывные нарушения северо-западного направления фиксируются по геологическим и геофизическим данным менее отчетливо, это, по-видимому, зависит от того, что основная часть геологических и геофизических наблюдений проведена по маршруту вдоль простирации северо-восточных структур. Наиболее отчетливо выделяется Сулинская система разломов. Она прослеживается вдоль бассейна р.Суло до верховья р.Ини, где перекрыта рыхлыми отложениями Иниской впадины. По протяженности северо-западные разломы гораздо меньше северо-восточных, падение крутые 70–85° к северо-востоку. Мощность дробленных пород достигает от 2 до 50 м. Сулинская система разломов предопределена также северо-западным простиранием пород тилемской свиты. В пределах этой системы разломов широко развиты процессы албитизации, окварцевания. Сюда же приурочено железорудное проявление.

Бартузинский разлом прослеживается прямолинейно вдоль подножья отрогов Баргузинского хребта. В пределах исследованной площади протяженность его составляет около 1200 м. По данным С.М.Замараева, он относится ко второму сбросу главного кулисообразного Баргузинского сброса. Вдоль этого сброса соприкасаются гранитоиды витимканского комплекса с ледниково-ми отложениями, слагающими северо-западный борт Баргузинской впадины. Мощность его составляет около 200 м. В его пределах отме-

чаются большое количество катаклизированных и мионитизированных гранитов с зеркалами скольжения. Замеры поверхностей скольжения показывают довольно крутые падения к юго-востоку под углом 70°.

На наш взгляд, основная система крутых разрывных нарушений всех направлений в исследованном районе была заложена, по-видимому, в докембрий, в период консолидации древней геосинклинальной области. В последующее время эти разломы подновлялись и отражались во вновь образованных верхних структурных этажах вплоть до кайнозоя. Конечно, интенсивность подвижек по разломам не была одинаковой в разные периоды. В настящее время, очевидно, можно говорить лишь об активности подвижек по разломам субширотного и северо-восточного направлений. По нашим данным, подвижки по разрывным нарушениям субширотного простирания в последнее время были более значительными, чем у разломов северо-восточного и северо-западного направлений.

ГЕОМОРФОЛОГИЯ

Ведущее значение в создании основных типов рельефа района имеют кайнозойские тектонические движения, в результате которых возникли поднятия – хребты и межгорные впадины. Эти первичные формы рельефа подверглись действию различных эзогенных факторов. В хребтах преобладали процессы эрозии и денудации, а впадины явились бассейнами накопления и развития аккумулятивных форм рельефа. По этому принципу на площади листа выделяются два типа рельефа: 1) эрозионно-денудационный рельеф сводово-глыбовых поднятий и 2) эрозионно-аккумулятивный рельеф межгорных впадин (рис.3).

ЭРОЗИОННО-ДЕНУДАЦИОННЫЙ РЕЛЬЕФ СВОДОВО-ГЛЫБОВЫХ ПОДНИЯТИЙ

Этот тип рельефа подразделяется на ряд морфологических подтипов, характеризующихся неравномерностью новейшего поднятия:

- 1) высокогорный эрозионно-экзарачийный рельеф с широким развитием поверхности гольцового выравнивания; 2) высокогорный эрозионный сильно расщепленный рельеф; 3) высокогорный плоскогородничий эрозионно-денудационный рельеф с развитием поверхности гольцового выравнивания; 4) среднегорный эрозионно-денудационный

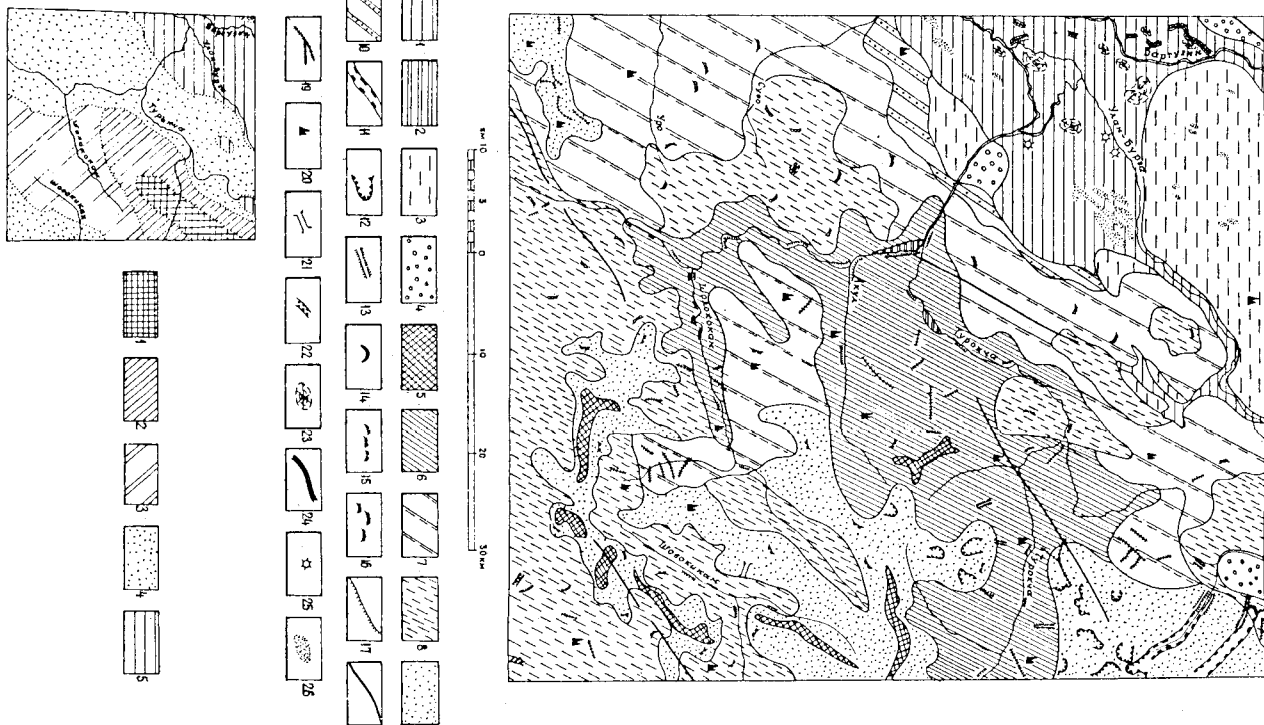


Рис.3. Геоморфологическая схема

1 - пойма с I надпойменной террасой; 2 - II надпойменная терраса; 3 - поверхности флювиогляциального происхождения; 4 - поверхности ледниковой аккумуляции; 5 - поверхности голого выравнивания; 6 - поверхности гравитационного сноса; 7 - поверхности гравитационно-солифлюкционного сноса; 8 - поверхности солифлюкционного сноса; 9 - поверхности конголефлюкционного сноса; 10 - поверхности плоскостного смыка; 11 - трехсторонние долины; 12 - карьи и пирки; 13 - камовые террасы; 14 - моренные гряды; 15 - нагорные террасы; 16 - солифлюкционные террасы; 17 - размывные уступы; 18 - разломы выраженные в рельфе; 19 - скользящие гребни; 20 - денудационные уступы; 21 - участки сквозных долин; 22 - эпигенетические участки долин; 23 - участки разбитых гидролакомитов и термокарстовых воронок; 24 - бульварные русла; 25 - полигональная система трещин; 26 - участки переваленных песков. Типы рельфа: 1 - высокогорный эрозионно-экзарационный рельф; 2 - высокогорный эрозионный сильно растянутенный рельф; 3 - высокогорный плосковершинный эрозионно-денудационный рельф; 4 - среднегорный эрозионно-денудационный рельф; 5 - равнинный и холмисто-увалистый рельф

Высокогорный розационно-эрозионный рельеф с широким развитием поверхности гольцового выравнивания развит в пределах Икагского хребта.

Рельеф здесь характеризуется сплошными куполовидными вершинами или ровными участками, представляющими собой не затронутые эрозией реликты древней денудационной поверхности. Абсолютные высоты вершин водоразделов достигают 1900–2270 м над уровнем моря. В пределах этого полигона рельефа широко распространены формы, соединенные ледниковой эрозией: кары, пирки, троги, моренные гряды, камовые террасы.

Высокогорный эрозионный склоновый рельеф широко распространен на водоразделах рек Шолоканка, Акула, Большой Кунгурка, Ушикана и Асина. Абсолютные высоты вершин колеблются от 1500 до 2000 м. Склоны водоразделов имеют уклон от 15 до 30°, причем, в нижней части они более крутие, чем в верхней. Этот тип рельефа характеризуется сравнительно узкими гребнями водоразделов, имеющими относительные превышения от 800 до 1000 м. Речные долины имеют V-образную форму полеречного профиля с крутыми бортами, не террасированы. В устьевых частях образуют иногда значительные конусы выноса. На склонах и водоразделах широко развиты остатки коренных город и крупногабаритные россыпи, процессы гравитационного контролемационного сноса и делювиально-проливиального накопления.

Высокогорный плосковершинный рельеф с развитием гольцового выравнивания развит в юго-восточной части площиади листа и характеризуется мягкими очертаниями водоразделов, часто представленных куполовидными вершинами и хорошо выработанными долинами. Абсолютные высоты вершин колеблются от 1500 до 2100 м. Относительные превышения составляют 400–700 м. Склоны водоразделов имеют уклон от 5 до 10°. Здесь преобладают процессы контролемационного и солификционного сноса. Отмечаются изометричные и гребневидные денудационные останцы, нагорные террасы, эрозионные уступы.

Среднегорный розионно-дельтаический рельеф занимает юго-западную часть Икагского хребта. Абсолютные высоты вершин колеблются от 700 до 1500 м. Данный тип рельефа характеризуется сравнительно пологими сплаженными формами водоразделов, имеющими относительную превышение от 150 до 500 м. Склоны водоразделов имеют уклон от 10 до 15°. Широко развиты процессы гравитационно-солифи-

ционного сноса, плоскостного смыва. Отдельные выпложенные участки поверхности плоскостного смыва сформированы на неогеновых отложениях.

Эрозионно-аккумулятивный рельеф месторождений впадин

В межгорных впадинах (Баргузинская, Ботуничанская, Яссинская) развит равнинный и холмисто-увалистый рельеф.

Равнинный рельеф представляет обширные равнинные заболоченные пространства. На их поверхности в период весеннне-летнего половодья реки часто меняют русла и оставляют множество озер (стариц). Основную часть внутреннего аккумулятивного поля впадин составляет пологонаклонная поверхность поймы. Абсолютные отметки на участках такого рельефа колеблются от 478 до 480. Широко развиты гидролакколиты и термоэрстонные воронки.

Холмисто-увалистый рельеф наиболее отчетливо выражен в пределах обширных террасовых зон-вышенестей, называемых Сувинским и Нижним Кунгуром. Поверхность "культов" полого наклонена в юго-западном направлении под углом 3–5°, с юго-востока и запада ограничена эрозионным участком высотой 30–50 м. Поверхность Сувинского Кунгуна возвышается над уровнем поймы впадины до 12 м. В настоящее время поверхность культов закреплена. В небольшом количестве отмечается низкий выдувания, овраги, промоины. Все они имеют постоянную северо-восточную ориентировку (40–60°).

История развития рельефа района

Историю формирования рельефа наиболее полно можно проследить только с неогена. Донеогеновый рельеф этого района представляется как обширная поверхность, имеющая характер приподнятой и слабо расщепленной равнины. В это время были условия, способствовавшие образование коры выветривания, отмечавшейся повсеместно в Баргузинской впадине в основании ранне неогеновых отложений и свидетельствующей о высокой интенсивности процессов химического выветривания.

Реликты донеогеновой поверхности сохранились и в пределах горной части в виде выровненного древнего рельефа в левобережной части р. Ихи, верховье рек Прав. Сура и Уро. Значительная перест-

ройка рельефа произошла во второй половине неогена и была обусловлена усилвшимися тектоническими движениями. Последнее подтверждается тем, что во впадине отмечается быстрая смена литотипического состава, а также общим похолоданием, о чем свидетельствует отсутствие в отложениях впадины следов субтропической растительности, сменившейся представителями хвойных и растительности, близкой к современной. Относительно быстрое прогибание впадины в плеистоцене, затем в голоцене замедлилось, а местами сменилось движением противоположного знака. К началу оледенения основные черты рельефа были близки к современным. Существовавшая в это время гидросеть за небольшим исключением соответствовала нынешнему плану.

Район, по-видимому, подвергался двукратному горно-долинному оледенению, во впадину выходили единичные ледники со стороны Баргузинского хребта, и только отдельными языками достигали противоположного берега впадины (Икатская морена). Со стороны Икатского хребта ледники покрывали поверхность Ботурицкой впадины и впадины средней части р.Улон. Ледники правых и левых притоков р.Турокчи были маломощные и не доходили до русла р.Турокчи. Во II фазу ледники, по-видимому, не выходили за пределы троговых долин.

В послеплейстоценовый период существенную роль в формировании рельефа сыграли эрозия и мерзлотные процессы. В это же время здесь происходили интенсивный врез, что отчетливо выражено на при-мере долин рек Ина, Суво, Уро, Шолокикан и др. Врез морфологически выражен наименее виличких долин и эпигенетических участков. В пределах Баргузинской впадины он выражен в образовании Инской террасы и эрозионных уступов в Ниж.Кутугуне.

В это же время частично произошла перестройка гидросети. Река Ина перехватила реку Ари-Алган. Об этом свидетельствуют реки древнего русла и его направление. Интенсивное проявление процессов речной эрозии в пределах Икатского и Баргузинского хребтов, а также отсутствие надподъемных террас в пределах Баргузинской впадины свидетельствуют о продолжавшемся понижении байкальского уровня и опускании долин в современный период (Форенсов, 1949).

На большей части исследованной территории геоморфологическая обстановка неблагоприятна для образования россыпных месторождений. Все реки района имеют интенсивный врез и аллювиальные отложения, распространенные в пределах их долин, имеют малую мощность. Террасовые отложения сохранились лишь на отдельных отрезках долин. Возможны участками для накопления россыпных место-

жений могут являться долины рек Турокчи, Бол.Кунтулика и пр. Зея притоки р.Уро.

ПОЛЕЗНЫЕ ИСКОПАЕМЫЕ

На площади листа, входящей в Турукино-Бамбуйскую структурно-металлогеническую зону (Арсентьев и др., 1964ф) имеются проявления железа, полиметаллов, золота, редких металлов, редких земель, доломитов, гравия, кирпичных глин, песка, гальки и гравия.

МЕТАЛИЧЕСКИЕ ИСКОПАЕМЫЕ

Ч е р н ы е м е т а л л и

Магнетитовые руды

Сузианско-р.Улопородзине (28) расположено в 12 км юго-восточнее с.Суво и приурочено к крупной зоне разлома северо-западного направления. Вмещающие породы являются известняками тильмской свиты и гранитами баргузинского комплекса.

В зоне эзоконтакта мраморизованные известняки превращены в дикроксеново-эмпидотовые и прококсено-эмпидотово-гранатовые скарны. В скарнах, по данным магниторазведочных работ, находятся неправильной формы рудные тела, прослеженные по простианию на 1,1 км, при средней мощности 8 м; на глубину не изучены. Сложены они преимущественно магнетитом, образующим вкрапленность и сплошные рудные тела. Магниторазведочными работами (Мулков и др., 1965ф) установлено, что рудное поле вызывает аномалию в эпипентре до 7000 гам. В гранитах зоны эзоконтакта рудные минералы (магнетит, пирит) образуют редкую вкрапленность и гнездообразные скопления размером 0,1-0,5 м. По данным химического анализа, содержание железа в рудах колеблется от 40% до 58,3%. Ориентировочные запасы железа по геофизическим данным составляют 2856000 т (Мулков и др., 1965ф). Данное рудопроявление промышленной ценности пока не представляет.

Ц в е т н ы е м е т а л л

Медь

Т у р о к ч и н с к о е п р о я з л е н и е м е д и (21) расположено в правом борту долины р.Турокчи и приурочено к зоне дробления северо-восточного простирания в известняках тилимской свиты. Мощность зоны около 50 м, протяженность - 150 м. Известники в зоне дробления сильно окваркованы и тремолитизированы. В окваркованных известняках обнаружены единичные прожилки, налеты малахита и азурита. Мощность прожилков 0,2-0,3 см, протяженность - 5-15 см. Кроме того, в известняках отмечается интенсивная пиритизация. Содержание меди, по данным спектрального анализа, не превышает 0,03%, свинца - 0,01%. Проявление, в связи с незначительным содержанием полезных компонентов, практического интереса не представляет.

Полиметаллические ископаемые

У к ш и к а н с к о е рудопроявление (13) полиметаллов расположено в верховье левого притока р.Ушкан и приурочено к прионтактовой части доломитизированных известняков тилимской свиты и кристаллических сланцев верхней подсвиты суванихинской свиты. Контакт между ними тектонический. Мощность зоны разлома 200-300 м. По данным наземных магниторазведочных и электроразведочных работ, в пределах зоны разлома выделяются четыре рудных тела, представленных бурами железняками. Мощность рудных тел колеблется от 2 до 15 м; по простиранию прослежены на 100 м. Граница до верхней кромки рудного тела 4-12 м; глубина до центра рудного тела 22-65 м. В бурых железняках обнаружены лимонит, гематит, гидрогематит, лимонитовые охры, окислы марганца, пирит, халькопирит, сфalerит, галенит, малахит, азурит и ковеллин. По данным спектрального и химического анализа, в орудневших породах содержится (в %): цинк - 0,02-0,08, медь - 0,02-0,06, свинец - 0,01, железо более 3. По-видимому, бурые железняки связаны с зоной окисления полиметаллического месторождения; возникли инфильтрационным путем в зоне разлома и приурочены к стратиграфическим горизонтам, первично обогащенным железом в окисной или сульфидной форме.

Т у р о к ч и н с к о е рудопроявление (11) находится в правом борту долины р.Турокчи, в 3 км от устья р.Ушкан и приурочено к кристаллическим сланцам верхней подсвиты суванихинской свиты, близким контакта с доломитизированными известняками тилимской свиты. Здесь установлено два рудных тела, представленных лимонитизированными породами с пустотами выщелачивания, налетами малахита, азурита, ковеллина, перуссита; с вкрапленностью пирита и халькопирита. Средняя мощность рудных тел 8-10 м; по простирации прослежены на 300 м. По окраске лимонитизированные породы неоднородные: черные, темно-оранжевые, вишневые, бурые, желтые. Для них характерны матовые, почковидные, корковые текстуры. В состав лимонитизированных пород входит лимонит, гематит, гидрогематит, пирит, магнетит. По результатам спектрального и химического анализа, в этих породах установлено содержание (в %) цинка - 0,1-0,06, меди - 0,2-0,06, свинца - 0,06.

В е р х н е т у р о к ч и н с к о е рудопроявление (20) расположено в правом борту долины верховья р.Турокчи и приурочено к кварцитам тилимской свиты, в которых наблюдаются редкая вкрапленность пирита, халькопирита, чаще примазки малахита и азурита. Горизонт кварцитов имеет среднюю мощность 150 м и прослежен по простиранию на 1200 м. Наиболее обогащенные полиметаллами участки расположены вблизи контакта кварцитов рудными минералами участики расположены вблизи контакта кварцитов с известняками, где их ширина достигает 25-30 м. По данным спектрального анализа, в орудневших кварцитах содержится цинка, свинца, меди от 0,01 до 0,03%, висмута - 0,001%, мышьяка - 0,01%.

И н с к о е рудопроявление (34) расположено на левобережье среднего течения р.Ини и приурочено к эзоконтакту гранитоидов баргузинского комплекса. Минерализация отмечена в склеритизированных известняках и эпилот-гранатовых скарнах, в виде редкой вкрапленности пирита, халькопирита, арсенопирита и галенита. Скарны прослежены на 1000 м мощностью от 10 до 50 м. По данным спектрального анализа, в них содержится цинка - 0,02%, меди - 0,03-0,06%, свинца - 0,1-0,02%. По данным металлометрического опробования, ореолы рассеяния свинца и цинка с содержанием 0,01-0,03% установлены в бассейнах рек Асына (24), Бол.Кунгудка (16), Уро (29), Турокчи(6), Суво (25), Ари-Алтана (55), Догольджи-яна (37), Шовликана (46), Шолококана (40), Ини (33), Турокчакана (4), Бодона (8). Приурочены они чаще всего к выходам пород верхней подсвиты суванихинской свиты и тилимской свиты. Охарактеризованные рудопроявления полиметаллов вместе с ореолами рассеяния являются хорошим поисковым признаком для обнаружения коренных месторождений.

БЛАГОРОДНЫЕ МЕТАЛЛЫ

Вольфрам

Золото

Сиеникское рудопроявление (38) золота расположено в верховье к. Снежного, правого притока р. Долголькина и приурочено к зоне разлома, проходящей в породах мелдзянской свиты и гранитоидах баргузинского комплекса. Быть разлома породы подвергены гидротермальным изменениям, выразившимся в притирании, грязеизации, лимонитизации, серпентинизации и частичном окварцевании. Среди гидротермально измененных пород развиты многочисленные лайки кварцевых порфиров, кварцевых жил и прожилков. Зона разлома имеет северо-восточное простирание $60-65^{\circ}$ и простянута на 1500 м, при средней мощности 400 м. Мощность жил и прожилков колеблется от 0,1 до 1 м. По простирации не прослежены. Спектральный анализ показал содержание (в %) золота в количестве 0,001, мышьяка – 0,14, висмута – 0,3, вольфрама – 0,03, тафтина – 0,01. Пробным анализом установлено золото в одной пробе – 0,02 г/т. Шлиховым опробованием зафиксированы ореолы рассеяния золота в бассейнах рек Турукчи (18, по четырем пробам), Турукчакана (19, по семи пробам), Большой Кунтулка (17, по 8 пробам). Содержание его в пробах колеблется от 2 до 14 знаков. Зерна пластинчатые, полускатанные с шероховатой и мелкоячайной поверхностью.

Редкие металлы

Олово

По данным металлометрического опробования, выделены ореолы рассеяния олова на водоразделе рек Асына – Ушиканы (23, по 15 пробам), в устье к. Ушмана (31, по 10 пробам), в верховье р. Гакши (32, по 9 пробам) и в верховье к. Тылгока (53, по 7 пробам). Содержание олова в них колеблется от 0,001 до 0,003%. Ореолы пространственно и генетически связаны с гранитоидами витимского комплекса. Ввиду низкого содержания металла, они практического значения не имеют.

Мolibден

Металлометрические ореолы рассеяния с содержанием молибдена до 0,001% выделены в бассейне р. Майтунда (2), площадь – 1,5 км², в верховье р. Улути (3), площадь – 8 км², в междуречье Шолококана и Долголькина (41, площадь 4,5 км²) на водоразделе рек Майтунда и Неругана (1) в верхнем течении р. Турукчи (5, площадь 5 км²), на водоразделе р. Имы – Шолококана (45, площадь 5 км²), в верховье р. Шолококана (57), в нижнем течении р. Шолококана (35). Приурочиваются ореолы рассеяния к массивам гранитоидов витимканского и реже баргузинского комплексов. В протолювиях из гранитов устанавливается знаковое содержание молибдита, который и является источником образования ореолов рассеяния. Практический интерес могут заслуживать ореолы рассеяния молибдена, расположенные в верховье р. Улути (3) и Турукчи (5), где они генетически связаны с зонами разломов.

Бериллий, литий, tantal и ниобий

Уринское проявление (51) редких металлов расположено в междуречье Колин и Гари, левых притоков р. Уро. Минерализация приурочена к широким выделениям и жилам амазонитизированных пегматитов и гранит-пегматитов в гранитах III фазы витимканского комплекса. Мощность жил колеблется от 0,2 до 3 м; по простирации простирания до 20 м. Минералогическим анализом в них установлены тантал-ниобиевые минералы, берилль, ортит, торит, монандит, катапеллит, лепидолит и марганцевый минерал. Спектральным анализом штучных и бороздовых проб зафиксировано содержание (в %) берилля,

лия - 0,005-0,01, лития 0,02-0,1, ниобия - 0,03-0,05, церия - 0,1-0,2, иттрия - 0,1-0,2. Генетический тип проявления малоперспективен. По данным шлихового опробования, ореолы рассеяния тантало-ниобиевых минералов в бассейнах рек Уро (50, по 18 пробам), Шовокикана (44, по 45 пробам), Шолококана (58, по 7 пробам), Акули (36, по 8 пробам). Содержание тантало-ниобиевых минералов в них - знаки и редкие знаки. Представлены они лелуми разновидностями: минералы из группы эвксенита и ферросонита. Размеры зерен от 0,3 до 1,2 мм. Анализ распределения ореолов указывает на их тесную пространственную и генетическую связь с гранитами II и III фаз витимканского комплекса.

Рудопроявление Т о л ь ц и н (62) находится на водоразделе рек Шовокикана и Кильдимита (высота с абсолютной отметкой 1923,0 м). Редкоzemельная минерализация приурочена к зоне разлома в гранитах II фазы витимканского комплекса. Мощность зоны разлома 3-15 м; по простиранию прослежена на 500 м. Катахазированние гранитов подверглись метасоматической переработке постмагматическими растворами: альбитизацией, амазонитизацией, греконизацией, флюоритизацией. Альбитизированные граниты образуют в зоне разлома подобные тела протяженностью до 30 м при мощности 2-10 м. Минералогическим анализом измененных гранитов установлены торит, ортит, пиртолит, монацит, тантало-ниобиевый минерал. По данным спектрального и химического анализа, в альбитизированных гранитах содержится (в %): торит - 0,01, иттрий - 0,01, пироксий - 0,001, иттербий - 0,001, церий - 0,01, ниобий - 0,005. Ввиду того, что это проявление имеет незначительную минерализацию, дальнейшего изучения не заслуживает.

По данным шлихового опробования, выделены ореолы рассеяния редких земель в бассейне р.Шовокикана (61, по 12 пробам), в верховье Ари-Алтана (60, по 6 пробам), в верховье Шолококана (56, по 7 пробам), в верховье Догольдина (48, по 12 пробам), в верховье Ямбуя (54, по 14 пробам). Редкоzemельные минералы представлены торитом, ортитом, бастнезитом, ксанотитом, монацитом. Комплексные содержания этих минералов в пробах различны: бастнезита - редкие знаки, ксанотиты - редкие знаки; торита - от редких знаков до знаков; монаита от редких знаков до весовых содержаний. Анализ распределения ореолов указывает на тесную пространственную и генетическую связь с гранитами II фазы витимканского

Редкие земли

Рудопроявление Т о л ь ц и н (62) находится на водоразделе рек Шовокикана и Кильдимита (высота с абсолютной отметкой 1923,0 м). Редкоzemельная минерализация приурочена к зоне разлома в гранитах II фазы витимканского комплекса. Мощность зоны разлома 3-15 м; по простиранию прослежена на 500 м. Катахазированние гранитов подверглись метасоматической переработке постмагматическими растворами: альбитизацией, амазонитизацией, греконизацией, флюоритизацией. Альбитизированные граниты образуют в зоне разлома подобные тела протяженностью до 30 м при мощности 2-10 м. Минералогическим анализом измененных гранитов установлены торит, ортит, пиртолит, монацит, тантало-ниобиевый минерал. По данным спектрального и химического анализа, в альбитизированных гранитах содержится (в %): торит - 0,01, иттрий - 0,01, пироксий - 0,001, иттербий - 0,001, церий - 0,01, ниобий - 0,005. Ввиду того, что это проявление имеет незначительную минерализацию, дальнейшего изучения не заслуживает.

По данным шлихового опробования, выделены ореолы рассеяния редких земель в бассейне р.Шовокикана (61, по 12 пробам), в верховье Ари-Алтана (60, по 6 пробам), в верховье Шолококана (56, по 7 пробам), в верховье Догольдина (48, по 12 пробам), в верховье Ямбуя (54, по 14 пробам). Редкоzemельные минералы представлены торитом, ортитом, бастнезитом, ксанотитом, монацитом. Комплексные содержания этих минералов в пробах различны: бастнезита - редкие знаки, ксанотиты - редкие знаки; торита - от редких знаков до знаков; монаита от редких знаков до весовых содержаний. Анализ распределения ореолов указывает на тесную пространственную и генетическую связь с гранитами II фазы витимканского

комплекса. Практическое значение могут представлять ореолы рассеяния, расположенные в бассейнах рек Шовокикана и Ямбуя (66, 80). Перспективы остальных ореолов рассеяния не выяснены.

Висмут

По данным шлихового опробования, выделены ореолы рассеяния висмутовых минералов в бассейне р.Турукчи (18, 19, по 5 пробам), в Междуречье Акули и Шолококана (39, по 4 пробам), в верховье Догольдина (43, по 6 пробам), в бассейне Шолококана (42, по 4 пробам) и Междуречье Догольдина и Шовокикана (47, по четырем пробам). Содержание минералов в пробах знаковое. Генетическая связь ореолов рассеяния устанавливается с пиритизированными кварцевыми жилами. Практического интереса ореолы рассеяния не представляют.

НЕМЕТАЛЛИЧЕСКИЕ ИСКОПАЕМЫЕ

Графит

Проявление графита установлено среди карбонатных сланцев Тилимской свиты в бассейнах тек Ушакана (14), Ушакки (15) и Мал.Кунтуника (10). Графитовые сланцы прослежены по простиранию на расстояние 15 км, при средней мощности 100 м. Азимут падения их 70-150°, угол падения - 30-40°. Содержание графита в сланцах колеблется от 1,5 до 14%. Учитывая большую протяженность горизонта графитовых сланцев, высокое содержание на отдельных участках графита, рекомендован здесь постановку более детальных поисковых работ с целью выявления графитовых сланцев с высоким содержанием в них графита.

СТРОИТЕЛЬНЫЕ ОГНЕУГОРНЫЕ И ДРУГИЕ МАТЕРИАЛЫ

Карбонатные породы

Доломиты

С у в и н с к о е месторождение доломитов (27) находится в юго-восточнее с.Суво, в II км по одноименной реке в ее правом

борту. Месторождение представлено ксенолитом известковых доломитов тимской свиты, залегающих среди гранитов витимского комплекса. Ксенолит прослеживается полосой по обоим бортам долины р. Суто на протяжении 14,5 км. Ориентировка его северо-западная, углы падения пород 50–80° СВ, ширина ксенолита от 0,5 до 4 км. По данным химического анализа 48 бороздовых проб, среднее содержание основных компонентов составляет (в %): MgO – 21,1; CaO – 30,68; Al_2O_3 – 0,58; SiO_2 – 1,19; Fe_2O_3 – 0,39 (Томонов, 1960 ф.). Химический анализ технологической пробы дал следующие результаты (в %): SiO_2 – 0,34; Al_2O_3 – 0,3; Fe_2O_3 – 0,10; CaO – 30,92; MgO – 22,9; SO_3 – 1,1; П.п.п. – 45,38; Сумма – 99,94; $CaCO_3$ – 55,18; $MgCO_3$ – 47,89; H_2O – 0,34; $SiO_2+Al_2O_3$ – 0,64. Согласно ГОСТ 1174-51 и 9178-50 известковые доломиты могут быть использованы для получения магнезиальной и доломитовой воздушной извести. Кроме того, по заключению центральной лаборатории ИГУ, из них может быть получена мраморная крошка для изготовления декоративных бетонов с хорошим качеством. На месторождении проведен подсчет запасов по кат. С1, составляющий 23321 тыс.т (Томонов, 1961 ф.). В целом в пределах ксенолита запасы доломитов практически неисчерпаемы. В настоящее время местным совхозом и частично районными организациями с. Баргузин производится обжиг известки кустарным способом.

Глинистые породы

Б о д о н с к о е месторождение (7) юрских глин находится в правом борту долины р. Бодон, в 2 км от одноименной деревни и связано с неогеновыми отложениями чилинской толщи. Средняя мощность горизонта глин 30 м. Мощность перекрывающих отложений 2–3 м. По данным термического анализа глинистой фракции, минеральный состав глин следующий (в %): каолинит – 84,93, монтмориллонит – 10,22, органические примеси – 3,5. Химический состав глин (в %): SiO_2 – 45,4–54,8, Al_2O_3 – 19,05–26,01, Fe_2O_3 (общее) – 3,6–6,8, FeO – 0,16–1,1, CaO – 0,74–2,2, MgO – 1,55–2,5, K_2O – 2,15–2,5, Na_2O – 1,5–2,05, H_2O – 0,72–2,1, п.п.п. – 7,92–10,0. Запасы глин не подсчитывались. На данном месторождении работает кирпичный завод, выпускающий продукцию для местных нужд.

Б а я н г о л ъ ское месторождение (9) кирпичных глин находится в левом борту долины р. Харалит, в 5 км северо-восточнее с. Баянгол. Глины содержат постоянно изменчивую примесь песка и залегают на коре выветривания нижнепалеозойских гранитоидов. По возрасту они относятся к неогену и описаны в разделе "Стратиграфия" (Чининская толща). Средняя мощность глин 20 м. Мощность перекрывающих отложений 2–3 м. В 1960 г. это месторождение было изучено В.Б. Убодовым и П.А. Хлыстовым (Убодов, Хлыстов, 1961 ф.), которыми установлен кальцитовый состав глин. Химический анализ тонкой фракции глин показал следующие результаты (в %): SiO_2 – 50,74, Al_2O_3 – 30,48, Fe_2O_3 (общее) – 7,93, CaO – 1,08 и п.п.п. – 9,74. Запасы глин не подсчитывались. В настоящее время здесь работает кирпичный завод местного значения.

Кроме кирпичных глин, на площади листа имеются и другие виды строительных материалов, запасы которых практически неисчерпаемы. Сюда относятся граниты, пески, гравий и галечник, все они в какой-то мере используются в местной промышленности (строительство дорог, производственных объектов).

ИСТОЧНИКИ ТЕРМАЛЬНЫХ ВОД

У р и н с к и й источник (52) расположен по руч. Лиственничному (левый приток р. Уро) и приурочен к зоне разлома северо-восточного направления среди гранитоидов баргузинского комплекса. Здесь имеется 35 выходов термальных вод. Дебит отдельных выходов достигает 0,75 – 1 л/сек. Температура воды колеблется от +64 до +67°C. По химическому составу вода источника сульфатно-натриево-бикарбонатно-натриевые с минерализацией 0,355 г/л (Анкудинова, 1956 ф.).



И н с к и й источник (30) расположен на левом борту долины р. Иса, в 12 км выше по течению от пос. Иса и приурочен к сочленению II надпойменной террасы р. Иса. Источник газирующий. Температура воды +20°C. Дебит родника 1 л/сек. По химическому составу воды для источника сульфатные натриевые с минерализацией 0,888 г/л.

Формула химического состава вод:

SO₄78 HCO₃13
M_{0,89} Na+K74 Ca22

Газовый состав источника: сероводород - 0,1%, углекислота - 0,35%, азот + редкие газы - 99,65%.

В настоящее время воды обоих источников используются местным населением для лечебных целей.

ОБЩАЯ ОЦЕНКА ПЕРСПЕКТИВ РАЙОНА И ДАЛЬНЕЙШЕЕ НАПРАВЛЕНИЕ РАБОТ

В зависимости от геологического строения, закономерностей пространственного распределения и характера оруденения, на изученной площади выделены рудные зоны: Турукчинская полиметаллическая по залеганию позднепротерозойского возраста и Асно-Уринская редкоземельная раннепалеозойского возраста.

Турукчинская рудная зона охватывает бассейны рек Суво, Ини, Турукчи, Бол.Кунтулка, Укиканка, Богунда. В структурном отношении она приурочена к Ушиканскому разлому.

В пределах зоны широко проявлены процессы пиритизации, окварцевания, реже флюоритизации, а также окисления. В Турукчинской рудной зоне выявлено 7 рудопроявлений и 24 ореола рассеяния. Основное значение здесь имеет полиметаллическое оруденение. Металлогеническая специализация зоны находится в прямой связи с особенностями ее геологического строения. Распределение оруденения и ореолов рассеяния контролируется различными факторами, связанными для этой зоны. Так, ведущая роль в размещении полиметаллических рудопроявлений, ореолов рассеяния свинца, цинка и платиновой минерализации принадлежит литогенетическим и тектоническим факторам. Образование этого типа оруденения контролируется непосредственно кварц-биотитовыми сланцами верхней подсвиты сувачинской свиты и разрывными структурами.

Медная минерализация приурочена к серым доломитизированным известнякам тилимской свиты. В возрастном и генетическом отношении она связана с полиметаллическим оруденением этой же рудной зоны.

Ореды рассеяния золота и отдельные точки, где отмечено в шлихах знаковое содержание золота, пространственно также входят в Турукчинскую рудную зону. Отсутствие видимой связи с какими-

либо конкретными образованиями не позволяет сделать определенных выводов о их генетическом типе.

Графитовые проявления связаны с горизонтами графитодержащих сланцев среди карбонатных пород тилимской свиты.

Асино-Урикская рудная зона прослеживается через водоразделы рек Уро, Ина, Шолококан, верховье Акути и Асины. В структурном отношении приурочена к однотипной системе разрывных нарушений.

В пределах зоны широко развиты процессы албитизации, окварцевания, амазонитизации, катаклаза, миогенитизации. В Асино-Уринской рудной зоне выявлено 5 проявлений и 23 ореолов рассеяния. Основное значение здесь имеет редкометальное оруденение, генетически связанное с гранитами витимканского комплекса. Кроме редкометальной минерализации, в пределах зоны отмечаются незначительные проявления свинца, цинка, редких земель. Распределение редкометального оруденения контролируется, по нашим данным, двумя факторами: положением массивов мелкозернистых гранитов витимканского комплекса и локальными зонами тектонических нарушений, в пределах которых образуются тела албитизированных гранитов,несущих редкометальную и редкоземельную минерализацию (Уринское рудопроявление). Проявление свинца и цинка относится к скарновому типу (Мокое рудопроявление).

Кроме указанных выше рудопроявлений, в пределах зоны находится Уринский торчий источник.

Линии металлометрического и шлихового обработания также отражают геохимические особенности рудных зон. Турукчинская рудная зона характеризуется ореолами и повышенными концентрациями в отдельных аномальных точках таких элементов, как свинец, цинк, медь, марганец, ванадий. Причем все ореолы рассеяния высокорецильных элементов тяготеют к местам распространения ксенолитов метаморфических пород верхней подсвиты сувачинской и тилимской свиты. Для Асино-Уринской рудной зоны характерны ореолы олова, молибдена, вольфрама.

Материалы шлихового обработания отражают примерно те же закономерности, которым подчиняется распределение рудопроявлений и металлометрических ореолов. Распределение ореолов шлихового обработания отражает основной профиль эндогенной минерализации Асино-Уринской зоны. Последняя характеризуется исключительно слабой сохранностью в шлихах минералов меди, цинка, свинца и широким развитием тантало-ниобиевых и редкоземельных минералов.

В связи с вышеизложенным в районе рекомендуются провести поисково-съемочные работы масштаба 1:50 000 в бассейнах рек Ури-

Шикан, Түрөкчи, Асна, Бол.Күнгүлка, Түрөкчикана и удо.

ПОДЗЕМНЫЕ ВОДЫ

Полезные воды, по имеющимся материалам и с учетом данных, полученных при проведении гидротектонической съемки масштаба 1:200 000 на листе № 49-ХХ (Замана и др., 1966), подразделены на следующие водноносные комплексы:

1. Водоносный комплекс современных аллювиальных отложений.
2. Водоносный комплекс современных ледниково-проливиаль-ных отложений.
3. Водоносный комплекс среднечетвертичных флювиогляциаль-ных отложений.

4. Водоносный комплекс неогеновых отложений.
5. Водоносный комплекс зон трещиноватости из метаморфических пород

G. DANTZIG AND R. WOLSEY

С. СОДНОЧНЫЙ КОМПЛЕКС ЗОН ТЕКТОНИЧЕСКИХ НАРУШЕНИЙ. ВОДОНОСНЫЙ КОМПЛЕКС СОВРЕМЕННЫХ

Н И К а л л ю в и а л ъ н и х о т л о ж е н и я широко

распространен в Баргузинской впадине и в долинах крупных рек. В Баргузинской впадине этот комплекс приурочен к аллювиальным отложениям, представленным разнозернистыми песками преимущественно мелко- и среднезернистыми, с гравием и галькой. Мощность водноносного комплекса во впадине достигает 50 м. В долинах рек мощность его не установлена.

Водообильность амбарных отложений характеризуется лебедками скважин от 0,8 до 1,67 л/сек. Удельный дебит от 0,04 до 1,0 л/сек. Статический уровень колеблется в пределах 1-5-8 м.

По химическому составу воды комплекса преобладающими гидрокарбонатные кальциево-магниевые, кальциевые и кальциево-натриевые, реже сульфатные кальциево-магниевые и сульфатные кальциевые с минерализацией от 0,13 до 0,58 г/л (Анкудинова, 1956).

M_o, 23 HCO₃ 74
M_g 45 C₈ 42 Na + KII

Воды комплекса являются основным источником водоснабжения населенных пунктов: Баянгол, Харалит, Чебуучен, Уржил и др.

Водоносный комплекс со временем -
ниже делювиально-проливальных
отложений развел в пределах Баргузинской впадины в
прибрежных частях и прорушен к отложениям предгорного шлей-
фа. Водоносные породы представлены шебенистыми отложениями с пес-
ком, глиной, дресвой и обломками кристаллических пород.
Волны грунтовые, безнапорные вскрыты на глубине 25-37 м. Де-
бят скважин 1,1 л/сек, удельный дебит от 0,08 до 0,2 л/сек. Дан-
ные о химическом составе вод этого комплекса отсутствуют.
Питание водоносного комплекса осуществляется преимущественно
трещинными водами кристаллических пород и трещинно-жильными во-
дами зон тектонических нарушений.

Водоносный комплекс средне-
четвертичных юрьев и отложений
отложений распространен в пределах Баргузинской впа-
дины и приурочен к флювиогляциальным пескам Нижнего Куйтна,
Сувинского Куйтна и отложениям песков водоразделной части
рек Зарталаны - Улан-Бурги. Воды комплекса грунтовые, безнапор-
ные. Данные по скважинам следующие: дебит от 0,125 до 1,39 л/сек,
удельный дебит от 0,003 до 0,09 л/сек, статический уровень 0,7-
10 м.

По химическому составу воды комплекса гидрокарбонатные каль-
циево-магниевые и сульфатные натриевые с минерализацией
от 0,32 до 0,840 г/л.

Формула Курлова:

CO₂ 15 №,84 Са38 №36 №25 НСО₃ 93 РН 7,0.

Воды данного комплекса используются для водоснабжения по-
селков и ферм (с. Хилтана, Бара-Дол и др.).

Водоносный комплекс неотектонических
отложений развит в пределах Баргузинской впадины. Водо-
носные породы являются разнозернистые пески с лизами и
прослоями глин. Водобильность комплекса значительная.

Данные по скважинам следующие: дебит 1,66-1,85 л/сек, удель-
ный дебит 0,16-0,5 л/сек, водоносный горизонт вскрыт в интерва-
ле 80-92,5 м.

По химическому составу воды гидрокарбонатные кальциево-маг-
ниевые, сульфатные кальциево-натриевые с минерализацией от
0,124 до 0,170 г/л. Формула Курлова имеет следующий вид:

HCO₃ 83 SO₄ 14
M_{0,124} Ca55 Na+K28 Mg16 pH 7,1.

HCO₃ 17 SO₄ 17 Cl10
M_{0,053} Ca46 Na+K38 Mg15 pH 7,2.

Воды используются для питьевых целей. Примане данного комплекса осуществляется за счет трещинных вод и вод зон нарушенных кристаллических пород и других водоносных комплексов.

Б о д о н о с н ы й к о м п л е к с з о н т р е -
щ и н о в а т о с т и и з з е р е ж е н и я и м е т а -
м о р ф и ч е с к и х п о р о д . Водоемающими породами являются гранитоиды баргузинского и витиманского интрузионных комплексов, а также метаморфические породы тилимской, сувандинской и мэдзянтэнской свит.

Водообильность пород комплекса характеризуется значительным колебанием и зависит от степени трещиноватости пород. Температура вод колеблется от +1 до 3°C.

Дебит скважин колеблется от 0,55 до 1,66 л/сек, удельный дебит от 0,054 до 0,09 л/сек. Глубина водоносного горизонта от 16 до 95 м.

По химическому составу воды комплекса гидрокарбонатные кальциево-натриевые, кальциево-магниевые, сульфатные натриевые, кальциево-магниево-натриевые и сульфатные кальциево-магниевые с минерализацией от 0,041 до 0,318 г/л.

HCO₃ 68 SO₄ 18 Cl13
M_{0,04} Ca48 Na+K45 pH 7,1.

Б о д о н о с н ы й к о м п л е к с з о н т е к-
т о н и ч е с к и х в а р у ш е н и й . Широкое развитие раз-
рывных нарушений, представленных зонами пробления и катаклаза, обусловливает широкое развитие вод этого водоносного комплекса. Выходы этих вод отмечаются как в высокогорной части, так и у подножья склонов и подчеркивают наличие разломов. Последнее отчетливо фиксируется в верховье р.Такши. Тип источников нисходящий. Температура колеблется от 1 до 3°C. Водообильность зон тектонических нарушений различна, чаще они характеризуются значительной водообильностью.

По химическому составу воды гидрокарбонатные кальциево-натриевые и в единичных случаях натриевые и сульфатные натриевые с минерализацией от 0,037 до 0,058 г/л. Формула Курлова имеет следующий вид:

По составу и водообильности воды могут широко исполь-
заться для водоснабжения.

Л И Т Е Р А Т У Р А

О п у б л и к о в а н н а я

К а л и н и н а К.П. Государственная геологическая карта ССР масштаба 1:1 000 000, лист № 49 (Чита). Объяснительная за-
писка. ИГУ, Госгеотехиздат, М., 1959.

Л о г а т е в Н.А. Кайнозойские континентальные отложения впадин байкальского типа. Изв.АН ССР, сер.гесл., № 4, 1958.

Н а л е т о в П.И. Интрузивные горные породы Центральной части Бурятской АССР. БИУ, Госгеотехиздат, М., 1962.

П а в л о в с к и й Е.В. Геологическая история и геоло-
гическая структура Байкальской горной области. Тр.ИИ АН ССР,
вып.99, сер.геол., № 31, М., 1948.

Р а в с к и й Э.И., А л е к с а н д р о в а Л.П. и др.
Антропогеновые отложения юга Восточной Сибири. Тр.геол.инст.
АН ССР, вып.105, Изд.Наука, М., 1964.

Р у д н е в В.П. Государственная геологическая карта ССР масштаба 1:2 000 000, серия Прибайкальская, лист № 49-ХV.

Объяснительная записка. ИГУ, Госгеотехиздат, М., 1961.

С а л о п Л.И. Байкальская складчатая область. Геологическое строение ССР, т.1. ВСЕИМ, Госгеотехиздат, М., 1959.

С а л о п Л.И. Геологическая карта Байкальской горной об-
ласти масштаба 1:50 000, ВСЕИМ, Госгеотехиздат, М., 1962.

С м и р н о в С.С. Зона окисления сульфидных месторожде-
ний. АН ССР, М., 1951.

Ф л о р е н с о в Н.А. Тектоника и новейшая текто-
ника Забайкалья. Изв.АН ССР, сер.геол., № 2, 1949.

Х р е н о в П.М. Магматические горные породы центральной части Икатского хребта и некоторые вопросы их металлогении. Матер.конф. по изуч. производств. сил БИ ССР, вып.3, Б-Монт.эксп., 1960.

Фондохранилище

Инкот ГСП за 1965 г., лист №49-ХII, с.-в. часть БГУ, Улан-Удэ, 1966.
Жуков Н.Ф. Пояснительные записки к материалам буро-
вых работ СМУ "Бурголстрой" за 1959-1961 гг. Бур.Улан-Удэ,
1962.

Анкудинова Н.Б. Отчет по работам Аршансской гид-
ро-геологической партии за 1954-55 гг. (Составление карт по ме-
ральным источникам по листу №49). ИГУ, Иркутск, 1956.

Арефьев В.П., Батурина Е.Е. и др. Ме-
таморфическая и прогностическая карта Бурятской АССР масштаба
1:500 000. Объяснительная записка (Отчет о работах по темам № 39
за 1961-1963 гг. и №7 за 1964 г.). БГУ, Улан-Удэ, 1964.

Булгатоев А.Н., Гусев В.Н. Геологическое
строение и полезные ископаемые территории листа №49-ХII. Отчет
Кылымской партии за 1957-59 гг. БГУ, Улан-Удэ, 1960.

Бломенцивай В.И., Шаплов. А. и др. Отчет о
результатах работ ароматитной партии № 23/59 на 1959 г. Вост-
сийскогеофизика, Иркутск, 1960.

Ветров Д.В. Государственная геологическая карта СССР
Масштаба 1:200 000, сер. Прибайкальская, лист №49-ХII. Объясни-
тельная записка авторск.вар.). БГУ, Улан-Удэ, 1961.

Гарифуллин А.Г., Боровский Ф.М. Объясни-
тельная записка к схематической геологической карте и картам
аэrorадиометрической съемки западной половины Витимского нагорья
за 1957 г. Специализир.экспедиция, Иркутск, 1958.

Гладышев А.А. Геологическая карта ОССР масштаба
1:200 000, серия Прибайкальская, лист №49-ХII. Объяснительная
записка (авторск.вар.), ИГУ, Иркутск, 1957.

Гомонов В.А., Лашевич А.И. Отчет по иссле-
дованием и релиационным работам, проведенным Усть-Баргузинской пар-
тией на месторождении глин и доломитов в Баргузинском районе Бу-
ргинской АССР. БГУ, Улан-Удэ, 1960.

Тусев В.Н., Лодовуха Ф.Н. Геологическое строе-
ние и полезные ископаемые северо-западной территории листа
№49-ХII (Отчет Джицинской геологосъемочной партии за 1962 г.).
БГУ, Улан-Удэ, 1963.

Елгин В.Г., Барулин В.А. и др. Отчет о резуль-
татах работ поисково-рекогносцировочных партий № 10 за 1961 г. Эксп. № 3
треста № 1, пос. Малта, Иркутская обл., 1962.

Гусев В.Н., Рыбалько М.М., и др. Геологическое
строение и полезные ископаемые бассейнов рек Турукчи и Ины. Отчет

Заманова Л.В., Андропова Р.Е. и др. Отчет
Баргузинской партии по гидрогеологической съемке масштаба
1:20 000 за 1964-1965 гг., лист №49-ХII. БГУ, Улан-Удэ, 1966.
Замараев С.М., Чарушин Т.В. Геологическое
строение юго-западной части Баргузинской впадины. Отчет о ре-
зультатах работ Баргузинской геолого-геоморфологической партии
за 1952-1953 гг. Востсийскогеофизика, Иркутск, 1953.

Замараев С.М., Максимов И.И. Геологичес-
кое строение средней части Баргузинской впадины. Отчет о резуль-
татах работ Баргузинской геолого-геоморфологической партии № 43
за 1954 г. Востсийскогеофизика, Иркутск, 1955.

Засипкин А.А. Отчет о результатах гравиметриче-
ских работ Баргузинской геофизической партии за 1950-1951 гг.
Востсийскогеофизика, Иркутск, 1952.

Кульчицкий А.С. Дополнения к отчету по работам
Таргинской и Кылымской партий. БГУ, Иркутск. 1946.

Мартинсон Г.Г. Результаты палеозоологического и
спорово-пыльцевого анализа керна из района с.Суво-Ладор-озеровед.
АИ СССР, л., 1957. (Фонд Востсийскогеофизика, Иркутск).

Муляков Э.М., Соляник М.И. Отчет о ре-
зультатах работ Баргузинской геолого-геоморфологической партии за 1965 г.,
БГУ, Улан-Удэ, 1966.

ОСокин П.В., Бюш Н.З. Геологическое строение
и полезные ископаемые Ушум-Каюктинского междугорья (Витимское
плоскогорье). Отчет Читинской партии за 1960 г. Лист №50-УП.
БГУ, Улан-Удэ, 1961.

Попов П.А. Результаты гравиметрической съемки терри-
тории Бур.АССР в масштабе 1:1 000 000 по состоянию на 1/XI 1963 г.
(Отчет о работах Гравиметрической партии за 1962-1963 гг.). БГУ,
Улан-Удэ, 1963.

Руднев В.П., Хренов П.М. Геология и редкоме-
тильное оруднение Икатского рудного поля. ИГУ, Иркутск, 1953.

Рукаев В.Ф. Государственная геологическая карта СССР масштаба 1:200 000. Серия Прибайкальская, лист № 49-ХХI.

Объяснительная записка (автор.зар.), БГУ, Улан-Удэ, 1962.

Рукаев В.Ф., Рыбако М.М. и др. Геологическое строение и полезные ископаемые между реками Киджимта и Ины (ю.-в. часть листа № 49-ХХI). Отчет Инской г.с.партии за 1964 г. БГУ, Улан-Удэ, 1965.

Сиклех Е.Е. Отчет о разведке Алгинского месторождения глин. БГУ, Улан-Удэ, 1955.

Убодов В.Б., Христов П. Отчет пооценке склоногенности камнозойских отложений Тункинской, Байкальской и Баргузинской впадин (по работам Бокситового отряда за 1960 г.). БГУ, Улан-Удэ, 1961.

Флоренсов Н.А., Логачев Н.А., и др. Мезокамнозойские впадины Байкальской горной области и перспективы их нефтегазоносности. Отчет по теме № 2 за 1952-1955 гг. Инст.геол. ВСФ СО АН СССР, Иркутск, 1956.

Циренов Д.С., Заплев П.Ф. Геологическое строение и полезные ископаемые нижнего течения р.Баргузин (Отчет Баргузинской партии за 1959 г.), лист № 49-ХХ. БГУ, Улан-Удэ, 1960.

Шаронов Н.В. Отчет о геологических результатах колесного бурения в южной части Баргузинской впадины в 1950-1953 гг. Восткоэнергегеология, Иркутск, 1954.

Шильков А.Л., Харамоев В.С. Отчет о результатах аэрогеофизических работ 1960 г., проведенных в Еравинском районе Бур., АССР, БГУ, Улан-Удэ, 1961.

Шильков А.Л., Мулюков Э.М. и др. Отчет о результатах работ аэрогеофизической партии за 1962 г. БГУ, Улан-Удэ, 1963.

Приложение I

СПИСОК МАТЕРИАЛОВ, ИСПОЛЬЗОВАННЫХ ДЛЯ СОСТАВЛЕНИЯ КАРТЫ ПОЛЕЗНЫХ ИСКОПАЕМЫХ МАСШТАБА 1:200 000

№/п	Фамилия и инициалы автора	Название работы	Год составления или издания	Местонахождение материала ^х , его фондовый номер или место издания
I	2	3	4	5
I	Гомонов В.А., Лашкевич А.И.	Отчет по поисковым и разведочным работам, проведенным Усть-Баргузинской партией на месторождениях глин и доломитов в Баргузинском районе Бурятской АССР за 1958-1959 гг.	1960	БГУ, № 2080
2	Гусев В.Н., Рыбако М.М. и др.	Геологическое строение и полезные ископаемые бассейнов рек Ины и Турокчи (Отчет по геологосъемочным работам Инской партии за 1964-1966 гг.). Лист № 49-ХХI	1967	№ 03506
3	Замараев С.М., Чарушин Г.В.	Геологическое строение юго-западной части Баргузинской впадины. Отчет о	1953	№ 0451

1	2	3	4	5
		результатах работ Баргузинской геолого-геоморфологической партии за 1952-1953 гг.		
4	Замараев С.М., Максимов И.И.	Геологическое строение средней части Баргузинской впадины. Отчет о результатах работ Баргузинской геолого-геоморфологической партии № 43 за 1954 г.	1955	№ 0476
5	Рувкен В.Ф. Рыбалко М.М., и др.	Геологическое строение и полезные ископаемые междуречья Кылжимита и Ины (Отчет Инской геолого-съемочной партии за 1964 г.)	1965	№ 03051

x/ Материалы хранятся в фондах Бурятского территориального геологического управления (г. Улан-Удэ).

СПИСОК
НЕПРОМЫШЛЕННЫХ МЕСТОРОЖДЕНИЙ ПОЛЕЗНЫХ ИСКОПАЕМЫХ, ПОКАЗАННЫХ
НА ЛИСТЕ №-49-XXI КАРТЫ ПОЛЕЗНЫХ ИСКОПАЕМЫХ
МАСШТАБА 1:200 000

Приложение 2

№ по карте	Индекс клетки на карте	Наименование месторождения и вид полезного ископаемого	Состояние эксплуатации	Тип месторождения (К-коренное, Р-россыпное)	№ использованного материала по списку (прилож. I)
1	2	3	4	5	6
СТРОИТЕЛЬНЫЕ МАТЕРИАЛЫ					
Карбонатные породы					
Доломиты					
27	III-1	Сувинское	Эксплуатируется	K	I
Глинистые породы					
Кирпичные глины					
9	II-2	Боянгольское	Эксплуатируется	K	3, 4
8	II-1	Бодонское	Эксплуатируется	K	3, 4

Приложение З

СПИСОК
ПРОЯВЛЕНИЙ ПОЛЕЗНЫХ ИСКОПАЕМЫХ, ПОКАЗАННЫХ НА ЛИСТЕ №-49-XXI
КАРТЫ ПОЛЕЗНЫХ ИСКОПАЕМЫХ
МАСШТАБА I:200 000

№ по кар- те	Индекс клетки на карте	Название (месторождения) проявления и вид полез- ного искоопаемого	Характеристика проявления	№ использован- ного материала (прилож. I)
I	2	3	4	5
МЕТАЛЛИЧЕСКИЕ ИСКОПАЕМЫЕ				
Ч е р н ы е м е т а л лы				
Магнетитовые руды				
26	III-1	Сувинское	Вкрапленность в скарнах	2
Ц в е т н ы е м е т а л лы				
Медь				
21	II-4	Турокчинское	Прожилки и налеты малахита и азурита в известняках	2

I	2	3	4	5
Полиметаллические				
20	II-4	Верхнетурокчинское	Вкрапленность пирита, халькопирита малахита, азурита в кварцитах	2
34	III-2	Инское	Вкрапленность пирита, халькопирита, арсенопирита и галенита в скари- рованных известняках	2
II	II-3	Турокчинское	Вкрапленность пирита, халькопирита; налеты малахита, азурита, ковеллина в лимонитизированных породах из зоны разлома	2
13	III-3	Укшиканское	Вкрапленность пирита, халькопирита; налеты малахита, азурита, ковеллина в железняках из зоны разлома	2
24	II-4	Бассейн р.Асына	Металлометрический ореол рассеяния	2
55	IV-2	Бассейн р.Ари-Алтана	То же	2
I6	II-3	Бассейн р.Бол.Кунгутика	"	2
8	II-1	Бассейн р.Бодона	"	2
37	III-3	Бассейн р.Догольджина	"	2
33	III-2	Бассейн р.Ини	"	2

I	2	3	4	5
25	III-1	Бассейн р.Суво	Металлометрический ореол рассеяния	2
6	I-4	Бассейн р.Турокчи	То же	2
46	III-4	Бассейн р.Шовокикана	"	2
40	III-3	Бассейн р.Шолококана	"	2
29	III-1	Водораздел р.Уро и кл.Осиповского	"	2
28	I-3	Междуречье Лев.Сува и кл.Осиновского	"	2
4	I-4	Междуречье Турокчи и Турокчакана	"	2

Благородные металлы

Золото

38	III-3	Снежинское	Жилы и прожилки кварцевых порфиров и кварца в зоне разлома. Содержание зо- лota 0,02 г/т	5
17	II-3	Бассейн р.Бол.Кунгу- лика	Шлиховой ореол рассеяния	2

I	2	3	4	5
18	II-4	Бассейн р.Турокчи	Шлиховой ореол рассеяния золота и висмута	2
19	II-4	Бассейн р.Турокчакана	То же	2

Редкие металлы

Олово

32	III-2	Верховье р.Гакши	Металлометрический ореол рассеяния	2
53	IU-1	Верховье р.Тыглока	То же	2
23	II-4	Водораздел рек Асына- Укшиканы	"	2
31	III-2	Устье кл.Ушмана	"	2

Вольфрам

59	IU-3	Верховье р.Лев.Алтана	Металлометрический ореол рассеяния	2
49	III-4	Верховье Шовокикана	То же	2
22	II-3	Водораздел рек Асына- Укшиканы	"	2
12	II-3	Нижнее течение р.Укши- каны	Шлиховой ореол рассеяния	2

93

I	2	3	4	5
			Молибден	
2	I-4	Бассейн р.Майгунды	Металлометрический ореол рассеяния	2
5	I-4	Верховье р.Турокчи	То же	2
3	I-4	Верховье р.Улючи	"	2
57	IY-3	Верховье р.Шолококана	"	2
45	III-4	Водораздел рек Имы-Шовокикана	"	2
I	I-3	Водораздел рек Майгунды-Нерутана	"	2
4I	III-3	Междуречье Шолококана и Догольджина	"	2
35	III-2	Нижнее течение р.Шолококана	"	2
			Бериллий, литий, тантал и ниобий	
5I	IY-1	Уринское	Шлировые выделения и жилы амазонитизированных пегматитов	2

I	2	3	4	5
36	III-3	Бассейн р.Акули	Шлиховой ореол рассеяния	2
50	IY-1	Бассейн р.Уро	То же	2
44	III-4	Бассейн р.Шовокикана	"	2
58	IY-3	Бассейн р.Шолококана	"	2
			Редкие земли	
62	IY-4	Гольцовое	Альбитизированные граниты в зоне разлома содержание тория - 0,01%, иттрия - 0,01%, церия - 0,01%, ниobia - 0,005%	5
6I	IY-4	Бассейн р.Шовокикана	Шлиховой ореол рассеяния	2
60	IY-3	Верховье Ари-Алтана	То же	2
48	III-3	Верховье Догольджина	"	2
56	IY-3	Верховье Шолококана	"	2
54	IY-1	Верховье Ямбуя	"	2
			Висмут	
42	III-3	Бассейн р.Шолококана	Шлиховой ореол рассеяния	2

I	2	3	4	5
43	III-4	Верховье р.Догольдина	Шлиховой ореол рассеяния	2
47	III-4	Междуречье Догольдина	То же	2
39	III-3	Междуречье Акули-Шоло-кокана	"	2
НЕМЕТАЛЛИЧЕСКИЕ ИСКОПАЕМЫЕ				
			Графит	
10	II-2	Малокунгуликское	Горизонт графитовых сланцев мощностью от 5 до 200 м. Содержание графита от 3,5% до 6%	2
15	II-3	Укшакское	Горизонт графитовых сланцев мощностью от 10 до 50 м. Содержание графита от 3 до 14%	2
14	II-3	Укликанское	Горизонт графитовых сланцев мощностью от 50 до 100 м. Содержание графита от 3,5 до 5,7%	2

I	2	3	4	5
ИСТОЧНИКИ МИНЕРАЛЬНЫХ ВОД				
30	III-2	Инский	По химическому составу воды сульфатные натриевые с минерализацией 0,888 г/л	2
52	IV-1	Уринский	По химическому составу воды сульфатно-гидрокарбонатно-натриевые с минерализацией 0,355 г/л	2

СОДЕРЖАНИЕ

	Стр.
Введение	3
Стратиграфия	7
Интузивные образования	25
Тектоника	54
Геоморфология	63
Полезные ископаемые	69
Подземные воды	80
Литература	83
Приложения	87

В брошюре пронумеровано 99 стр.

Технический редактор Е.М.Павлова

Редактор Р.Н.Ларченко

Корректор Н.В.Смирнова

Сдано в печать 9/14 1975 г. Подписано к печати 25/1 1979 г.
Тираж 198 экз. Формат 60Х90/16 Леч.л. 6,25 Знаказ Г71с

Центральное специализированное
производственное хозрасчетное предприятие
Всесоюзного геологического фонда

